

Modelarea robotului paralel PARAMIS

Studiu de caz

Implementarea robotilor paraleli in aplicatii medicale

Cuprins

- Stadiul actual al cercetarilor in domeniul chirurgiei robotizate
- Necesitatea si justificare temei
- Stabilirea caietului de sarcini cu prezentarea avantajelor si dezavantajelor structurilor seriale si paralele
- Definirea si modelul geometric al unei structuri paralele noi pentru chirurgia minim invaziva – PARAMIS
- Modelul cinematic al robotului pentru chirurgie PARAMIS. Analiza singularitatilor si a spatiului de lucru.
- Proiectarea constructiva a robotului PARAMIS si realizarea unui model de comanda utilizand pachetul software MATLAB - SIMULINK
- Modelul experimental al robotului PARAMIS

Stadiul actual al cercetarilor in domeniul chirurgiei robotizate

Conceptul CMIAR

Cu aproximativ 20 de ani în urmă, evoluția din tehnică face posibilă introducerea unei noi tehnici de intervenție chirurgicală: chirurgia minim invazivă.

În ultima parte a anilor 90, s-a concretizat o altă etapă evolutivă în dezvoltarea tehnicilor chirurgicale prin introducerea sistemelor robotizate în chirurgie. Aceste inovații au creat condițiile necesare pentru soluții minim invazive într-un spectru larg de proceduri chirurgicale complexe în cele mai variate specialități (toracică, abdominală, neurologică, ortopedică, etc.).

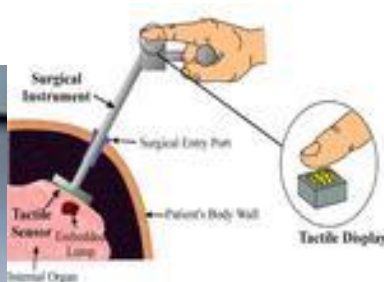
Principiul CMIAR

Cativa metri

15 000 Km



Chirurg



Modul tactil

Master



Slave



Pacient

Om versus robot in CMI

Chirurgi	Roboti
<p>Puncte forte</p> <ul style="list-style-type: none"> Coordonare buna mana-ochi Dexteritate mare (la o scala a omului) Flexibil si adaptabil Poate integra si prelucra informatii complexe Poate folosi informatiile calitative O bună judecata Usor de informat 	<p>Puncte forte</p> <ul style="list-style-type: none"> O precizie geometrica mare Stabil si imperturbabil Poate fi conceput pentru o varietate mare de functii Poate fi sterilizat Rezistent la radiatii si infectii Poate folosi diferiti senzori (chimici, fizici, acustici etc.) în control
<p>Limitari</p> <ul style="list-style-type: none"> Dexteritate limitata in afara scalei naturale Predispus la oboseala si tremur Limitare a preciziei geometrice Limitare in a folosi informatiile calitative Necesitatea unui camp de operatie mare Posibilitate limitata de sterilizare Vulnerabil la radiatii si infectii 	<p>Limitari</p> <ul style="list-style-type: none"> Judecată slaba Dexteritate si coordonare mana-ochi limitate Limitat unor proceduri relative simple Pret ridicat Tot timpul in pas de a fi depasit din punct de vedere tehnologic Greu de construit si de reparat

AESOP



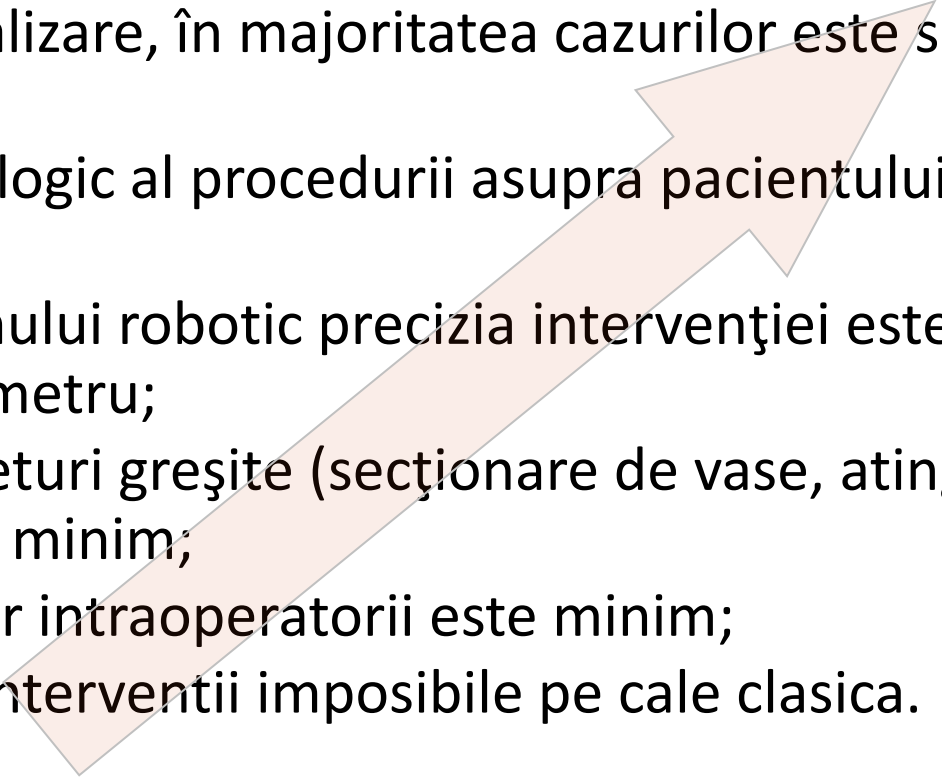
Bratul robotic AESOP (Automated Endoscopic System for Optimal Positioning)

Robotul chirurgical da Vinci[®]

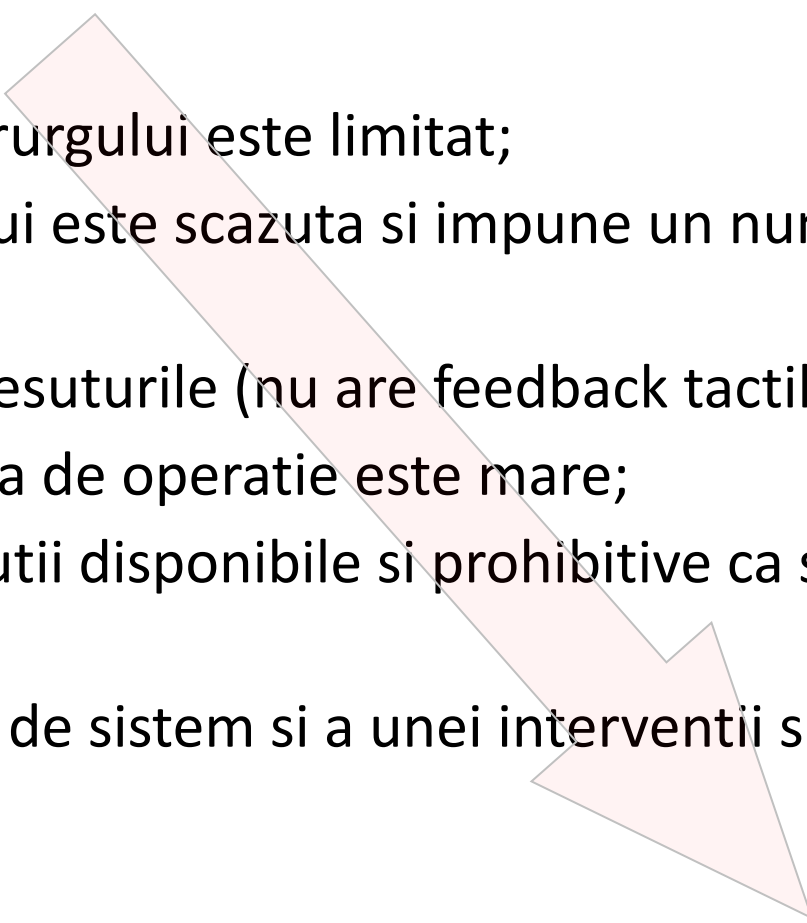


Necesitatea si justificarea temei abordate

Avantajele CMIAR

- ▶ Distrugerea țesuturilor sănătoase este minimă;
 - ▶ Durata de spitalizare, în majoritatea cazurilor este sub 24 de ore;
 - ▶ Impactul psihologic al procedurii asupra pacientului este scăzut semnificativ;
 - ▶ Datorită sistemului robotic precizia intervenției este sub o sutime de milimetru;
 - ▶ Riscul unor tăieturi greșite (secționare de vase, atingerea unor nervi etc.) este minim;
 - ▶ Riscul infecțiilor intraoperatorii este minim;
 - ▶ Se pot realiza intervenții imposibile pe cale clasică.
- 

Dezavantajele CMIAR

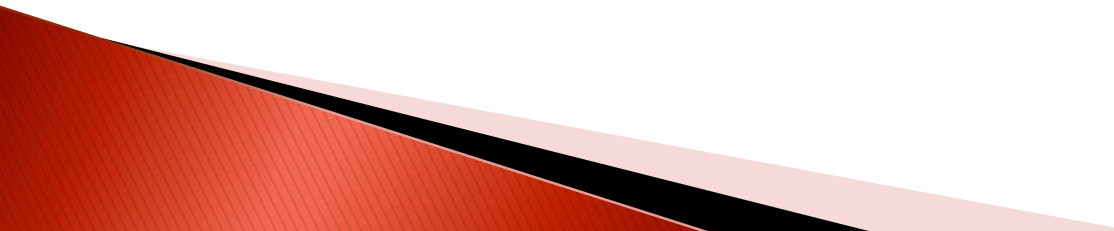
- ▶ Campul vizual al chirurgului este limitat;
 - ▶ Ergonomia sistemului este scazuta si impune un numar mare de ore de pregatire;
 - ▶ Chirurgul nu simte tesaturile (nu are feedback tactil);
 - ▶ Spatiul ocupat in sala de operatie este mare;
 - ▶ Numarul mic de solutii disponibile si prohibitive ca si costuri si dificil de utilizat;
 - ▶ Costurile unui astfel de sistem si a unei interventii sunt foarte ridicate.
- 

Necesitatea dezvoltării de noi structuri robotizate în CMI

Se poate concluziona că sistemele robotizate aduc beneficii mari în sălile de operație, însă acestea sunt încă la început, iar reacțiile chirurgilor evidențiază:

- ▶ **eficacitatea sistemelor existente;**
- ▶ **nevoia dezvoltării unor sisteme mai accesibile din punct de vedere economic;**
- ▶ **integrarea pe scară largă a sistemelor robotizate în sălile de operații;**
- ▶ **încurajarea cercetărilor în domeniu pentru găsirea unor noi concepte care să elimine limitările și dezavantajele sistemelor existente.**

**Stabilirea caietului de sarcini cu
prezentarea avantajelor si dezavantajelor
structurilor seriale si paralele**



Sinergia ingineri - chirurgi

Dezvoltare

Cerinta

Idee

Chirurgi

Ingineri

Concepte

Inovatie

Cooperare

Integrare

Cercetare

Interdisciplinaritate

Solutie optima

Cerintele unui sistem pentru CMI

- ✓ Precizie ridicata;
- ✓ Spatiu de lucru mic;
- ✓ Control eficient al vitezei si fortei in spatiul de lucru;
- ✓ Feedback tactil;
- ✓ Sisteme de siguranta;
- ✓ Imun la interferentele magnetice;
- ✓ Evitarea singularitatilor;
- ✓ Inertie redusa;
- ✓ Sterilizare usoara;
- ✓ Dimensiuni compacte si greutate redusa;
- ✓ Brate compacte.

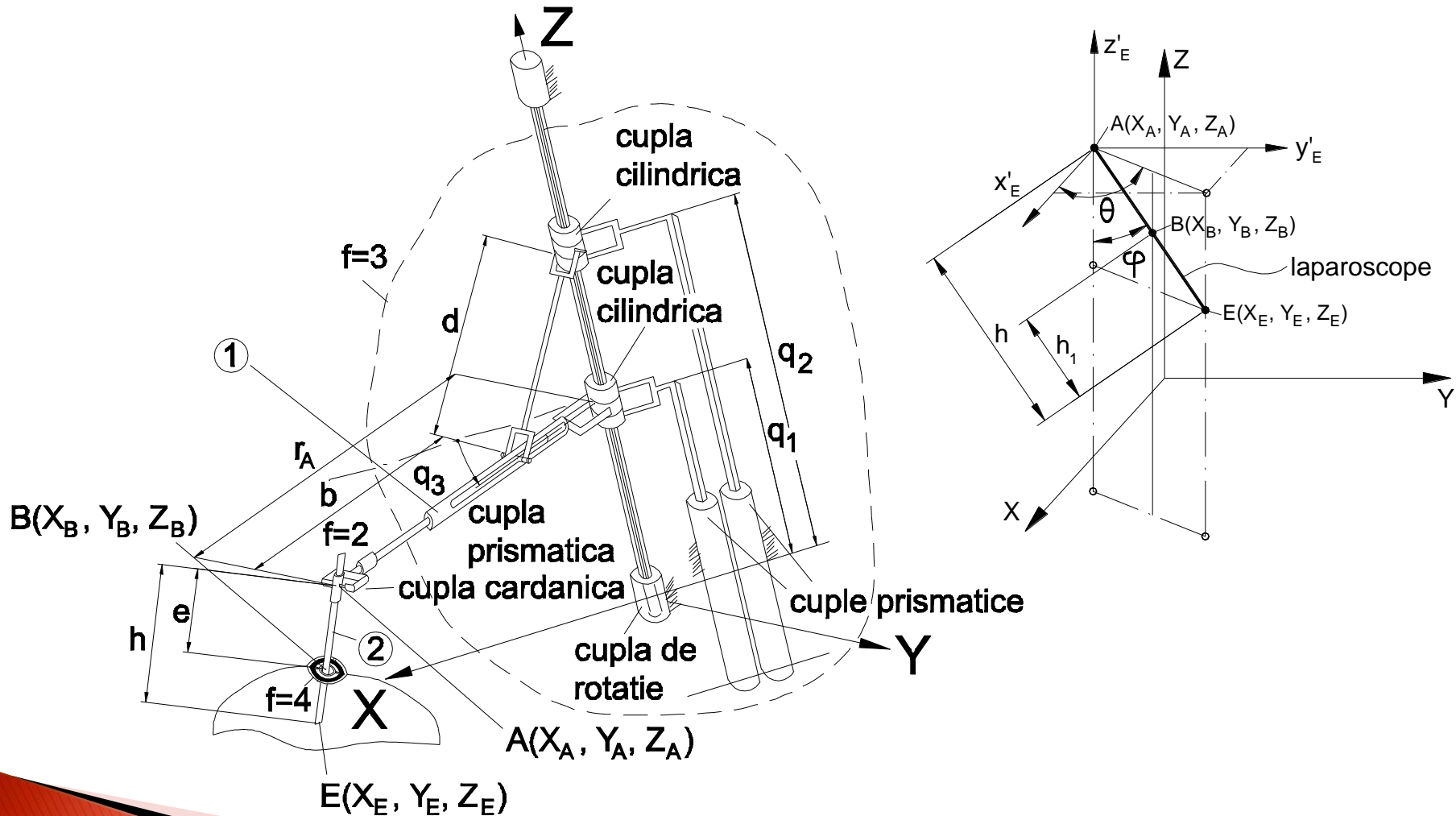
Alegerea structurii optime

Caracteristicile structurilor paralele și seriale			
Tendinta	Caracteristica	Robot Serial	Robot Paralel
↗	Precizie	Medie - mica	Foarte mare
↗	Repetabilitate	Medie - mare	Foarte mare
↘	Raport masa proprie / masa manipulată	Foarte mare	Mic
↗	Spațiu de lucru	Mare	Mic
↗	Rigiditate	Mică	Mare
↗	Viteze, acceleratii	Medii	Foarte mari
↘	Mase în miacare	Mari	Mici

Structura mecanica	Cerinte		Importanta
	1 Structura seriala	2 Structura paralela	
1 Precizie ridicata	<input type="radio"/>	++	16,6%
2 Spatiu de lucru mic	<input type="radio"/>	+	6,1%
3 Control eficient al vitezei si fortei in toate punctele...	<input type="radio"/>	<input type="radio"/>	7,1%
4 Feedback tactil	<input type="radio"/>	<input type="radio"/>	15,6%
5 Sisteme de siguranta	<input type="radio"/>	<input type="radio"/>	11,6%
6 Imun la interferentele magnetice	<input type="radio"/>	<input type="radio"/>	9,7%
7 Evitarea singularitatilor	<input type="radio"/>	-	12,7%
8 Inertie redusa	<input type="radio"/>	++	6,9%
9 Sterilizare usoara	<input type="radio"/>	<input type="radio"/>	3,3%
10 Dimensiuni compacte si greutate redusa	<input type="radio"/>	+	3,6%
11 Brate compacte	<input type="radio"/>	<input type="radio"/>	6,8%
Efecte pozitive		4	
Efecte negative		1	
Efecte neutre	11	6	
Efect net		3	
Prioritizare pozitiva		26,7%	
Prioritizare negativa		-4,2%	
Efect net		22,5%	

**Definirea si modelul geometric al unei
structuri paralele inovative pentru
chirurgia minim invaziva – PARAMIS**

Schema cinematica a structurii paralele PARAMIS



Modelul geometric

Modelul geometric invers

Date

X_E, Y_E, Z_E



Necunoscute

$q_i, i = 1, 2, 3$

Modelul geometric direct

Date

$q_i, i = 1, 2, 3$



Necunoscute

X_E, Y_E, Z_E

Modelul geometric direct

Date: $q_1, q_2, q_3, b, d, h; X_B, Y_B, Z_B$

Solutie analitica!

$$r_A = b + \sqrt{d^2 - (q_2 - q_1)^2}$$

$$X_A = r_A \cos q_3, Y_A = r_A \sin q_3, Z_A = q_1$$

Doua cazuri:

$$X_A \neq X_B, Y_A \neq Y_B$$

$$e = \sqrt{(X_B - X_A)^2 + (Y_B - Y_A)^2 + (Z_B - Z_A)^2}$$

$$\varphi = a \tan 2 \left(\sqrt{1 - \left(\frac{Z_A - Z_B}{e} \right)^2}, \frac{Z_A - Z_B}{e} \right)$$

$$\theta = a \tan 2(Y_B - Y_A, X_B - X_A)$$

$$\begin{cases} X_E = X_A + h \cdot \sin \varphi \cos \theta \\ Y_E = Y_A + h \cdot \sin \varphi \sin \theta \\ Z_E = Z_A - h \cdot \cos \varphi \end{cases}$$

$$X_A = X_B, Y_A = Y_B$$

$$\begin{cases} X_E = X_B, Y_E = Y_B \\ Z_E = Z_A - h \end{cases}$$

Modelul geometric invers

Date: X_E, Y_E, Z_E b, d, h, X_B, Y_B, Z_B

Solutie analitica!

$$h_1 = \sqrt{(X_B - X_E)^2 + (Y_B - Y_E)^2 + (Z_B - Z_E)^2}$$
$$\varphi = a \tan 2 \left(\sqrt{1 - \left(\frac{Z_B - Z_E}{h_1} \right)^2}, \frac{Z_B - Z_E}{h_1} \right) \quad \theta = a \tan 2(Y_E - Y_B, X_E - X_B)$$

Doua cazuri:

$$X_E \neq X_B, Y_E \neq Y_B$$

$$\begin{cases} X_A = X_E - h \cdot \sin \varphi \cos \theta \\ Y_A = Y_E - h \cdot \sin \varphi \sin \theta \\ Z_A = Z_E + h \cdot \cos \varphi \end{cases}$$

$$X_E = X_B, Y_E = Y_B$$

$$\begin{cases} X_A = X_E \\ Y_A = Y_E \\ Z_A = Z_E + h \end{cases}$$

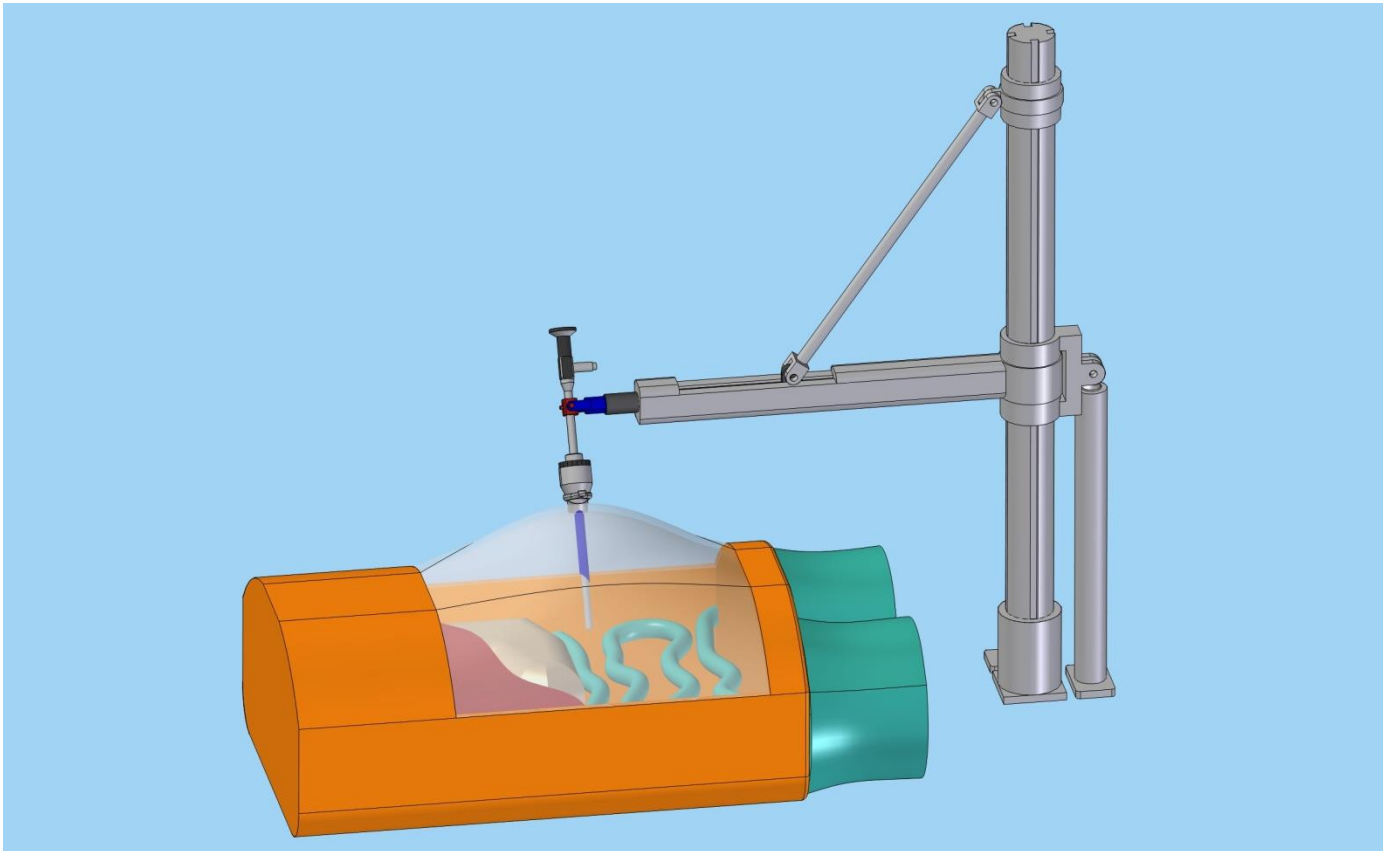
$$r_A = \sqrt{X_A^2 + Y_A^2}$$

$$q_1 = Z_A$$

$$q_2 = q_1 + \sqrt{d^2 - (r_A - b)^2}$$

$$q_3 = a \tan 2(Y_A, X_A)$$

Modelul cinematic virtual



Robotul paralel PARAMIS – model cinematic CAD

Validarea modelului geometric

Date de intrare

$q_1 = 535.28$ mm

$q_2 = 864.39$ mm

$q_3 = 0^\circ$

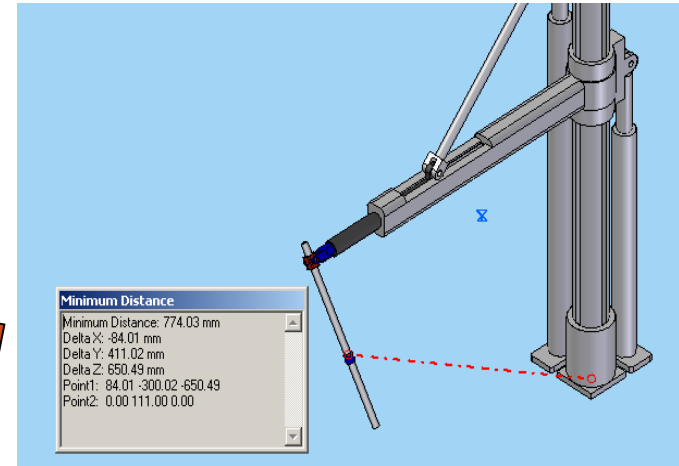
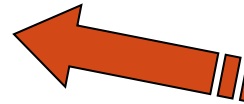
$h = 270$ mm

$D = 545.356$ mm

Delta X: -84.01 mm

Delta Y: 411.02 mm

Delta Z: 650.49 mm



Date calculate

$X_E = 650.488$ mm

$Y_E = 151.224$ mm

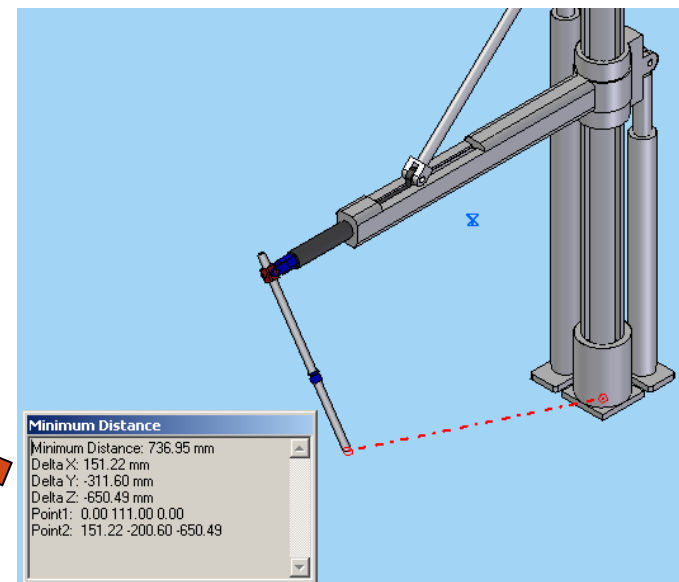
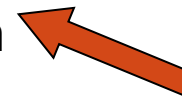
$Z_E = 311.603$ mm

Date masurate

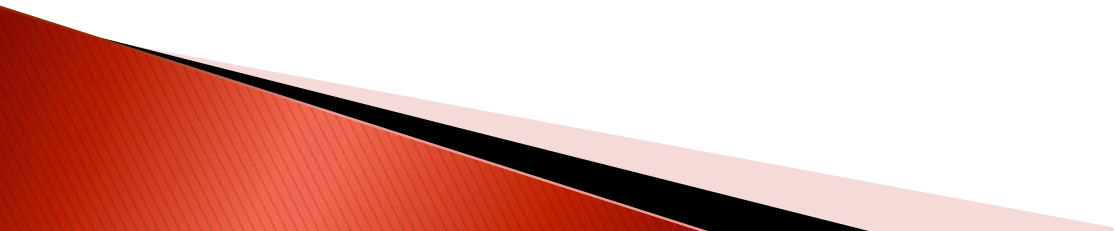
Delta X: 151.22 mm

Delta Y: -311.60 mm

Delta Z: -650.49 mm



**Modelul cinematic al robotului paralel
pentru chirurgie PARAMIS. Analiza
singularitatilor si a spatiului de lucru**



Modelul cinematic. Generalitati

$$\begin{cases} f_1(X_E, q_1, q_2, q_3) \equiv X_E + h \cdot \frac{X_B - X_E}{h_1} - \left[b + \sqrt{d^2 - (q_2 - q_1)^2} \right] \cdot \cos q_3 = 0 \\ f_2(Y_E, q_1, q_2, q_3) \equiv Y_E + h \cdot \frac{Y_B - Y_E}{h_1} - \left[b + \sqrt{d^2 - (q_2 - q_1)^2} \right] \cdot \sin q_3 = 0 \\ f_3(Z_E, q_1) \equiv Z_E + h \cdot \frac{Z_B - Z_E}{h_1} - q_1 = 0 \end{cases}$$



$$\begin{aligned} X_E &= \left[b + \sqrt{d^2 - (q_2 - q_1)^2} \right] \cdot \cos q_3 - h \cdot \frac{X_B - X_E}{h_1} \\ Y_E &= \left[b + \sqrt{d^2 - (q_2 - q_1)^2} \right] \cdot \sin q_3 - h \cdot \frac{Y_B - Y_E}{h_1} \\ Z_E &= q_1 - h \cdot \frac{Z_B - Z_E}{h_1} \end{aligned}$$

Modelul cinematic. Generalitati

$$A \cdot \dot{X} + B \cdot \dot{q} = 0$$



$$A = \begin{bmatrix} \frac{\partial f_1}{\partial X_E} & \frac{\partial f_1}{\partial Y_E} & \frac{\partial f_1}{\partial Z_E} \\ \frac{\partial f_2}{\partial X_E} & \frac{\partial f_2}{\partial Y_E} & \frac{\partial f_2}{\partial Z_E} \\ \frac{\partial f_3}{\partial X_E} & \frac{\partial f_3}{\partial Y_E} & \frac{\partial f_3}{\partial Z_E} \end{bmatrix}$$

$$B = \begin{bmatrix} \frac{\partial f_1}{\partial q_1} & \frac{\partial f_1}{\partial q_2} & \frac{\partial f_1}{\partial q_3} \\ \frac{\partial f_2}{\partial q_1} & \frac{\partial f_2}{\partial q_2} & \frac{\partial f_2}{\partial q_3} \\ \frac{\partial f_3}{\partial q_1} & \frac{\partial f_3}{\partial q_2} & \frac{\partial f_3}{\partial q_3} \end{bmatrix}$$

Modelul cinematic. Generalitati

$$A \cdot \ddot{X} + \dot{A} \cdot \dot{X} + B \cdot \ddot{q} + \dot{B} \cdot \dot{q} = 0$$



$$\dot{A} = \begin{bmatrix} \frac{d}{dt} \left(\frac{\partial f_1}{\partial X_E} \right) & \frac{d}{dt} \left(\frac{\partial f_1}{\partial Y_E} \right) & \frac{d}{dt} \left(\frac{\partial f_1}{\partial Z_E} \right) \\ \frac{d}{dt} \left(\frac{\partial f_2}{\partial X_E} \right) & \frac{d}{dt} \left(\frac{\partial f_2}{\partial Y_E} \right) & \frac{d}{dt} \left(\frac{\partial f_2}{\partial Z_E} \right) \\ \frac{d}{dt} \left(\frac{\partial f_3}{\partial X_E} \right) & \frac{d}{dt} \left(\frac{\partial f_3}{\partial Y_E} \right) & \frac{d}{dt} \left(\frac{\partial f_3}{\partial Z_E} \right) \end{bmatrix}$$

$$\dot{B} = \begin{bmatrix} \frac{d}{dt} \left(\frac{\partial f_1}{\partial q_1} \right) & \frac{d}{dt} \left(\frac{\partial f_1}{\partial q_2} \right) & \frac{d}{dt} \left(\frac{\partial f_1}{\partial q_3} \right) \\ \frac{d}{dt} \left(\frac{\partial f_2}{\partial q_1} \right) & \frac{d}{dt} \left(\frac{\partial f_2}{\partial q_2} \right) & \frac{d}{dt} \left(\frac{\partial f_2}{\partial q_3} \right) \\ \frac{d}{dt} \left(\frac{\partial f_3}{\partial q_1} \right) & \frac{d}{dt} \left(\frac{\partial f_3}{\partial q_2} \right) & \frac{d}{dt} \left(\frac{\partial f_3}{\partial q_3} \right) \end{bmatrix}$$

Modelul cinematic direct pentru viteze

$$\dot{X} = -A^{-1} \cdot B \cdot \dot{q}$$



$$B = \begin{bmatrix} \frac{q_1 - q_2}{\sqrt{d^2 - (q_2 - q_1)^2}} \cdot \cos q_3 & \frac{q_2 - q_1}{\sqrt{d^2 - (q_2 - q_1)^2}} \cdot \cos q_3 & \left[b + \sqrt{d^2 - (q_2 - q_1)^2} \right] \cdot \sin q_3 \\ \frac{q_1 - q_2}{\sqrt{d^2 - (q_2 - q_1)^2}} \cdot \sin q_3 & \frac{q_2 - q_1}{\sqrt{d^2 - (q_2 - q_1)^2}} \cdot \sin q_3 & - \left[b + \sqrt{d^2 - (q_2 - q_1)^2} \right] \cdot \cos q_3 \\ -1 & 0 & 0 \end{bmatrix}$$

$$A^{-1} = \frac{1}{\left(1 - \frac{h}{h_1}\right)^2} \cdot Ma = \frac{h_1}{(h_1 - h)}$$

$$\begin{bmatrix} 1 - \frac{h}{h_1^3} (X_B - X_E)^2 & -\frac{h}{h_1^3} \cdot (Y_B - Y_E) \cdot (X_B - X_E) & -\frac{h}{h_1^3} \cdot (Z_B - Z_E) \cdot (X_B - X_E) \\ -\frac{h}{h_1^3} \cdot (X_B - X_E) \cdot (Y_B - Y_E) & 1 - \frac{h}{h_1^3} \cdot (Y_B - Y_E)^2 & -\frac{h}{h_1^3} \cdot (Z_B - Z_E) \cdot (Y_B - Y_E) \\ -\frac{h}{h_1^3} \cdot (X_B - X_E) \cdot (Z_B - Z_E) & -\frac{h}{h_1^3} \cdot (Y_B - Y_E) \cdot (Z_B - Z_E) & 1 - \frac{h}{h_1^3} \cdot (Z_B - Z_E)^2 \end{bmatrix}$$

Modelul cinematic direct pentru viteze

$$\dot{X}_E = \frac{h_1}{(h-h_1)} \cdot \left(1 - \frac{h}{h_1^3} \cdot (X_B - X_E)^2 \right) \cdot \left(\frac{(\dot{q}_2 - \dot{q}_1)}{AA} \cdot \cos q_3 + C \cdot \dot{q}_3 \cdot \sin q_3 \right) + \frac{h_1}{h-h_1} \cdot \frac{(\dot{q}_2 - \dot{q}_1)}{AA} \cdot \frac{h}{h_1^3} \cdot (X_B - X_E) \cdot (Y_B - Y_E) \cdot \sin q_3 +$$

$$\frac{h_1}{h-h_1} \cdot \frac{h}{h_1^3} \cdot (X_B - X_E) \cdot (Z_B - Z_E) \cdot \dot{q}_1 + \frac{h_1}{h-h_1} \cdot \frac{h}{h_1^3} \cdot (X_B - X_E) \cdot (Y_B - Y_E) \cdot C \cdot \dot{q}_3 \cdot \cos q_3$$

$$\dot{Y}_E = \frac{h_1}{(h-h_1)} \cdot \left(1 - \frac{h}{h_1^3} \cdot (Y_B - Y_E)^2 \right) \cdot \left(\frac{(\dot{q}_2 - \dot{q}_1)}{AA} \cdot \sin q_3 + C \cdot \dot{q}_3 \cdot \sin q_3 \right) + \frac{h_1}{h-h_1} \cdot \frac{(\dot{q}_2 - \dot{q}_1)}{AA} \cdot \frac{h}{h_1^3} \cdot (X_B - X_E) \cdot (Y_B - Y_E) \cdot \sin q_3 +$$

$$\frac{h_1}{h-h_1} \cdot \frac{h}{h_1^3} \cdot (X_B - X_E) \cdot (Z_B - Z_E) \cdot \dot{q}_1 + \frac{h_1}{h-h_1} \cdot \frac{h}{h_1^3} \cdot (X_B - X_E) \cdot (Y_B - Y_E) \cdot C \cdot \dot{q}_3 \cdot \cos q_3$$

$$\dot{Z}_E = \frac{h_1}{(h-h_1)} \cdot (X_B - X_E) \cdot (Z_B - Z_E) \cdot \left(\frac{(\dot{q}_2 - \dot{q}_1)}{AA} \cdot \cos q_3 - C \cdot \dot{q}_3 \cdot \sin q_3 \right) + \frac{h_1}{h-h_1} \cdot \frac{h}{h_1^3} \cdot (Y_B - Y_E) \cdot (Z_B - Z_E) \cdot \left(\frac{(\dot{q}_2 - \dot{q}_1)}{AA} \cdot \sin q_3 + C \cdot \dot{q}_3 \cdot \cos q_3 \right) +$$

$$+ \frac{h_1}{h-h_1} \cdot \dot{q}_1 \cdot \left(1 - \frac{h}{h_1^3} \cdot (Z_B - Z_E)^2 \right)$$

Solutie analitica!

Modelul cinematic invers pentru viteze

$$\dot{q} = -B^{-1} \cdot A \cdot \dot{X}$$





$$B^{-1} = \frac{1}{\frac{q_2 - q_1}{\sqrt{d^2 - (q_2 - q_1)^2}} \cdot \left[b + \sqrt{d^2 - (q_2 - q_1)^2} \right]} \cdot Mb =$$

$$= \begin{bmatrix} 0 & 0 & -1 \\ \frac{\sqrt{d^2 - (q_2 - q_1)^2}}{q_2 - q_1} \cdot \cos q_3 & \frac{\sqrt{d^2 - (q_2 - q_1)^2}}{q_2 - q_1} \cdot \sin q_3 & -1 \\ \frac{1}{b + \sqrt{d^2 - (q_2 - q_1)^2}} \cdot \sin q_3 & -\frac{1}{b + \sqrt{d^2 - (q_2 - q_1)^2}} \cdot \cos q_3 & 0 \end{bmatrix}$$

$$A = \begin{bmatrix} 1 - \frac{h}{h_1} + \frac{h \cdot (X_B - X_E)^2}{h_1^3} & \frac{h \cdot (X_B - X_E) \cdot (Y_B - Y_E)}{h_1^3} & \frac{h \cdot (X_B - X_E) \cdot (Z_B - Z_E)}{h_1^3} \\ \frac{h \cdot (Y_B - Y_E) \cdot (X_B - X_E)}{h_1^3} & 1 - \frac{h}{h_1} + \frac{h \cdot (Y_B - Y_E)^2}{h_1^3} & \frac{h \cdot (Y_B - Y_E) \cdot (Z_B - Z_E)}{h_1^3} \\ \frac{h \cdot (Z_B - Y_E) \cdot (Z_B - X_E)}{h_1^3} & \frac{h \cdot (Z_B - Y_E) \cdot (Y_B - Y_E)}{h_1^3} & 1 - \frac{h}{h_1} + \frac{h \cdot (Z_B - Z_E)^2}{h_1^3} \end{bmatrix}$$

Modelul cinematic invers pentru viteze

$$\dot{q}_1 = \dot{Z}_E - \dot{Z}_E \cdot \frac{h}{h_1} + \frac{h}{h_1^3} \cdot (Z_B - Z_E) \cdot [\dot{X}_E(X_B - X_E) + \dot{Y}_E(Y_B - Y_E) + \dot{Z}_E(Z_B - Z_E)]$$


$$\dot{q}_2 = \dot{q}_1 - AA \cdot E \cdot [(X_B - X_E) \cdot \cos q_3 + (Y_B - Y_E) \cdot \sin q_3] - \left(1 - \frac{h}{h_1}\right) \cdot AA \cdot (\dot{X}_E \cdot \cos q_3 + \dot{Y}_E \cdot \sin q_3)$$


$$\dot{q}_3 = \frac{1}{C} \cdot E \cdot [(Y_B - Y_E) \cdot \cos q_3 - (X_B - X_E) \cdot \sin q_3] + \left(1 - \frac{h}{h_1}\right) \cdot \frac{1}{C} (\dot{Y}_E \cdot \cos q_3 - \dot{X}_E \cdot \sin q_3)$$

Solutie analitica!

Modelul cinematic direct pentru acceleratii

$$\ddot{X} = -A^{-1} \cdot (\dot{A} \cdot \dot{X} + B \cdot \ddot{q} + \dot{B} \cdot \dot{q})$$



$$\ddot{X}_E = (-1) \cdot \left(\frac{h_1}{h_1 - h} \right) \cdot \left[\left(1 - \frac{h}{h_1^3} \cdot (X_B - X_E)^2 \right) \cdot (DAX_{11} + BBDQ_{11} + DBQ_{11}) - \frac{h}{h_1^3} \cdot (X_B - X_E) \cdot (Y_B - Y_E) \cdot (DAX_{21} + BBDQ_{21} + DBQ_{21}) - \frac{h}{h_1^3} \cdot (X_B - X_E) \cdot (Z_B - Z_E) \cdot (DAX_{31} + BBDQ_{31} + DBQ_{31}) \right]$$

$$\ddot{Y}_E = (-1) \cdot \left(\frac{h_1}{h_1 - h} \right) \cdot \left[-\frac{h}{h_1^3} \cdot (X_B - X_E) \cdot (Y_B - Y_E) \cdot (DAX_{11} + BBDQ_{11} + DBQ_{11}) + \left(1 - \frac{h}{h_1^3} \cdot (Y_B - Y_E)^2 \right) \cdot (DAX_{21} + BBDQ_{21} + DBQ_{21}) - \frac{h}{h_1^3} \cdot (Y_B - Y_E) \cdot (Z_B - Z_E) \cdot (DAX_{31} + BBDQ_{31} + DBQ_{31}) \right]$$

$$\ddot{Z}_E = (-1) \cdot \left(\frac{h_1}{h_1 - h} \right) \cdot \left[-\frac{h}{h_1^3} \cdot (X_B - X_E) \cdot (Z_B - Z_E) \cdot (DAX_{11} + BBDQ_{11} + DBQ_{11}) - \frac{h}{h_1^3} \cdot (Y_B - Y_E) \cdot (Z_B - Z_E) \cdot (DAX_{21} + BBDQ_{21} + DBQ_{21}) - \left(1 - \frac{h}{h_1^3} \cdot (Z_B - Z_E)^2 \right) \cdot (DAX_{31} + BBDQ_{31} + DBQ_{31}) \right]$$

Solutie analitica!

Modelul cinematic invers pentru acceleratii

$$\ddot{q} = -B^{-1} \cdot (\dot{A} \cdot \dot{X} + A \cdot \ddot{X} + \dot{B} \cdot \dot{q})$$



$$\ddot{q}_1 = DDAX_{31} + DAX_{31} + BDQ_{31}$$

$$\ddot{q}_2 = (-1) \cdot [A \cdot (DDAX_{11} + DAX_{11} + BDQ_{11}) \cdot \cos q_3 + A \cdot (DDAX_{21} + DAX_{21} + BDQ_{21}) - (DDAX_{31} + DAX_{31} + BDQ_{31}) \cdot \sin q_3]$$

$$\ddot{q}_3 = (-1) \cdot \left[(DDAX_{11} + DAX_{11} + BDQ_{11}) \cdot \frac{\sin q_3}{C} - (DDAX_{21} + DAX_{21} + BDQ_{21}) \cdot \frac{\cos q_3}{C} \right]$$

Solutie analitica!

Analiza singularitatilor

$$A \cdot \dot{X} + B \cdot \dot{q} = 0$$

Tipul 1. $\det(B) = 0$

$$\det(B) = \frac{q_2 - q_1}{\sqrt{d^2 - (q_2 - q_1)^2}} \cdot \left[b + \sqrt{d^2 - (q_2 - q_1)^2} \right]$$

~~$q_1 = q_2$
 $d^2 = (q_2 - q_1)^2 \equiv d = q_2 - q_1$
 $b + \sqrt{d^2 - (q_2 - q_1)^2} = 0$~~

Tipul 2. $\det(A) = 0$

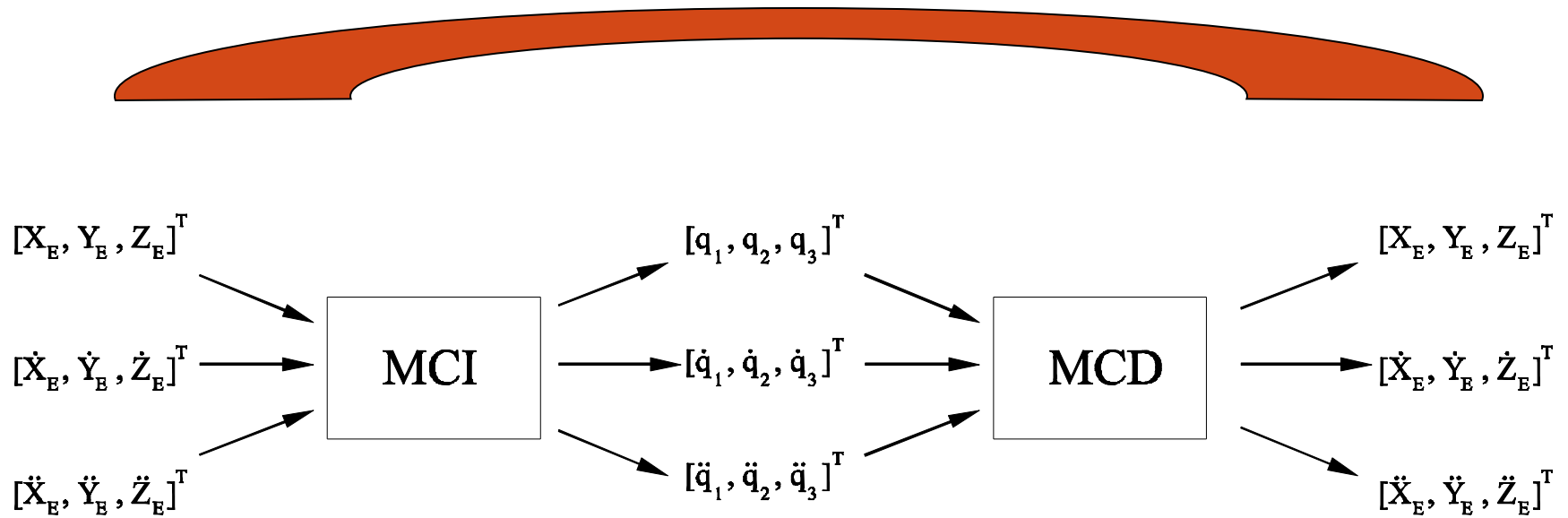
$$\det(A) = \left(1 - \frac{h}{h_1} \right)^2$$

~~$h = h_1$~~

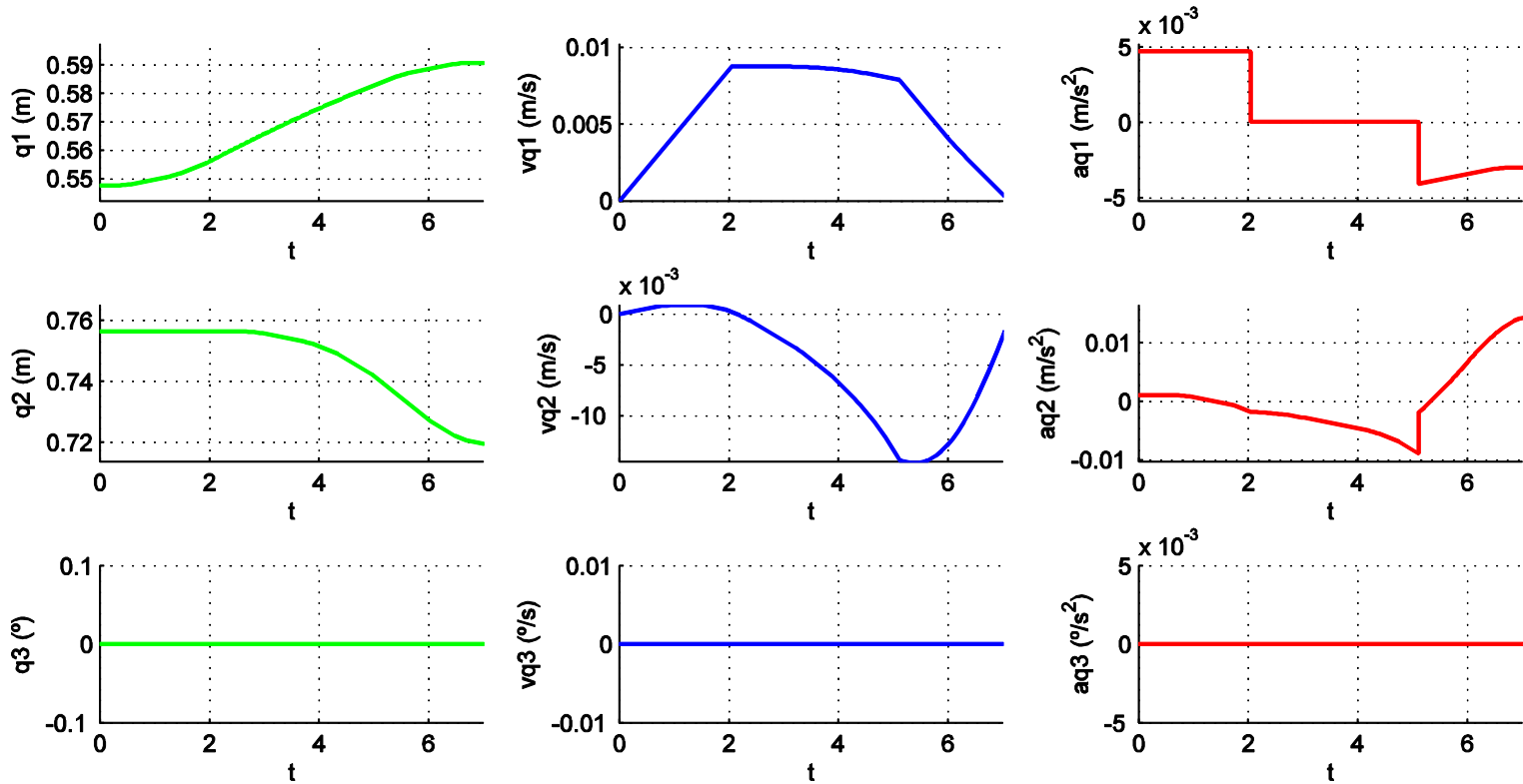
Tipul 3. $\det(A) = 0$ si $\det(B) = 0$

Nu exista puncte de singularitate!

Validarea modelului matematic



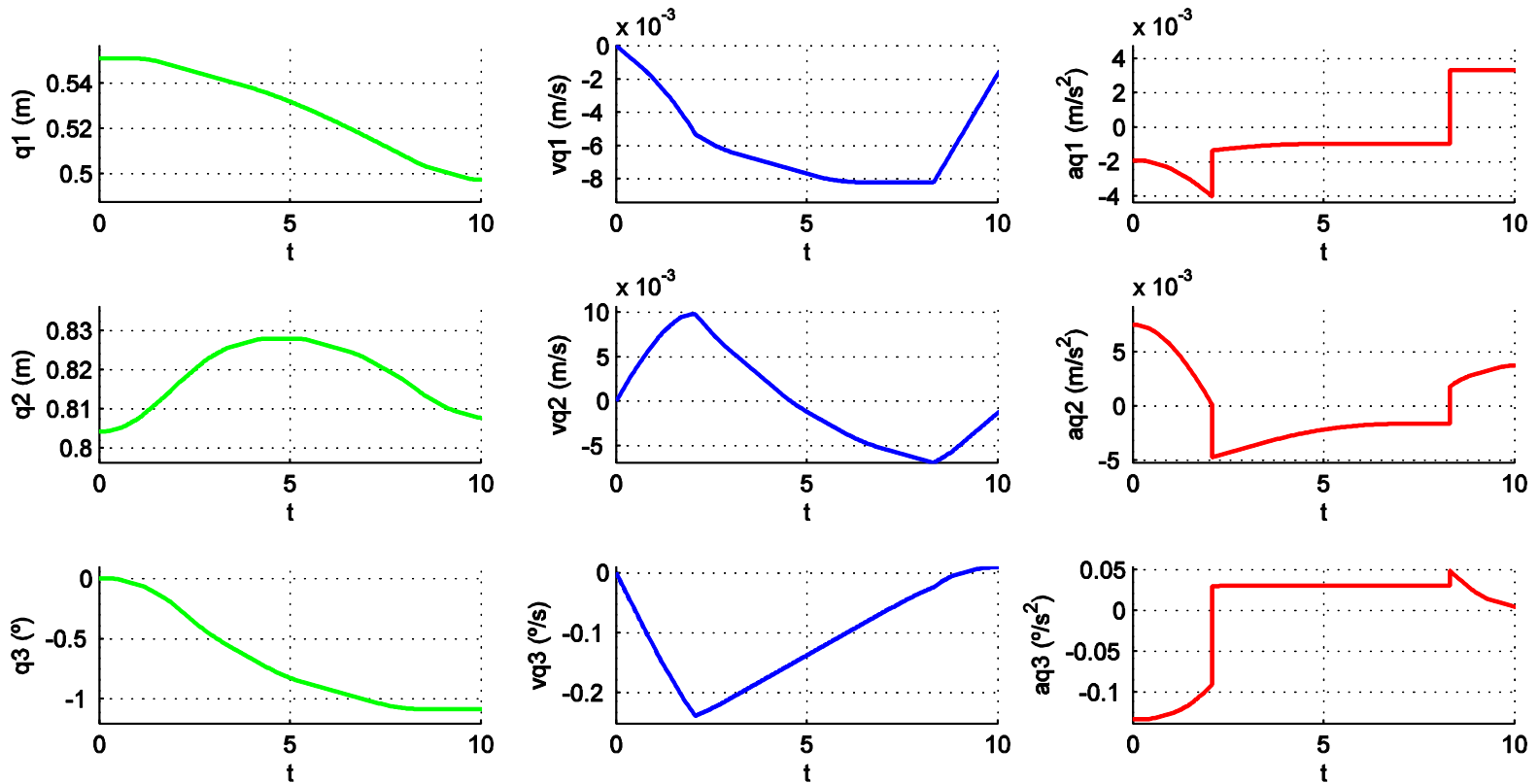
Traietorii de miscare



Traietorie paralelă cu axa Z cu laparoscopul aflat în poziție oarecare

$$X_{E_i} = X_{E_f} = 0.660 \text{ m}, Y_{E_i} = Y_{E_f} = 0 \text{ m}, Z_{E_i} = 0.281 \text{ m}, Z_{E_f} = 0.331 \text{ m}$$

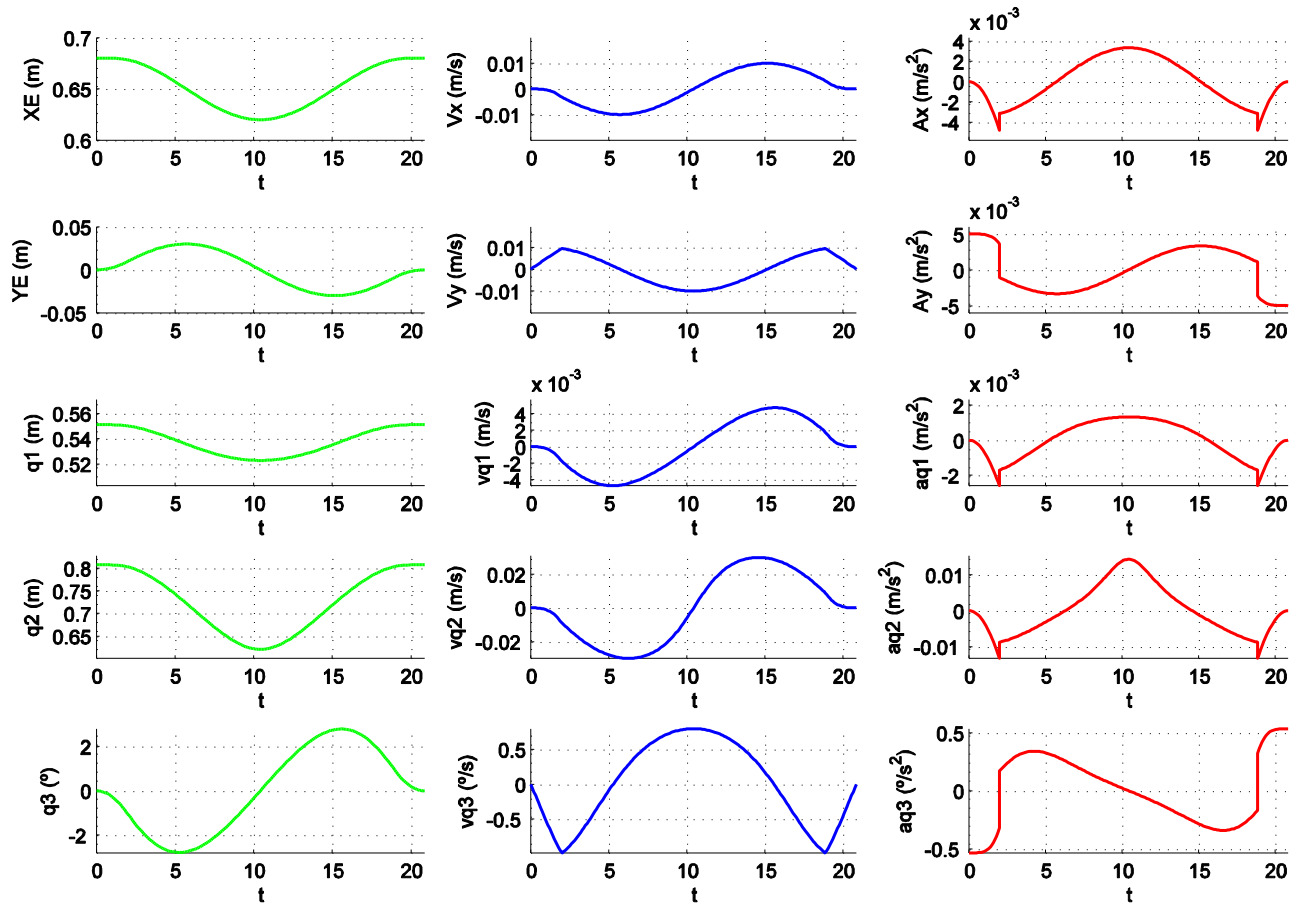
Traietorii de miscare



Deplasarea robotului, pe o traiectorie liniară între două puncte în spațiul de lucru

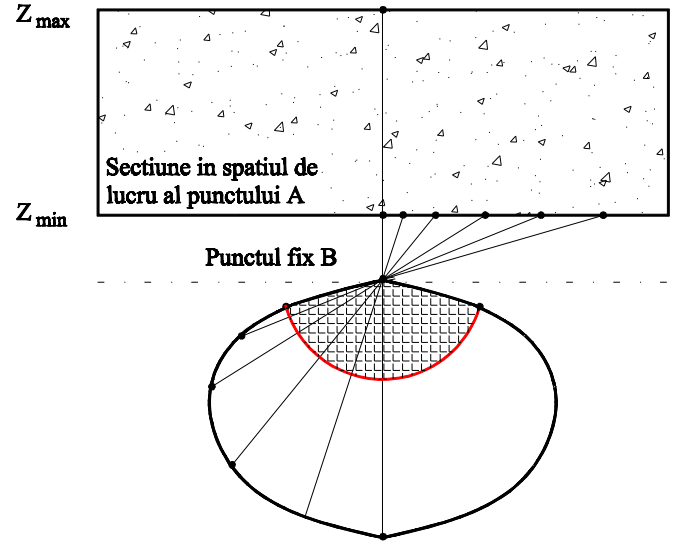
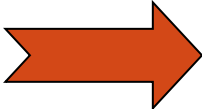
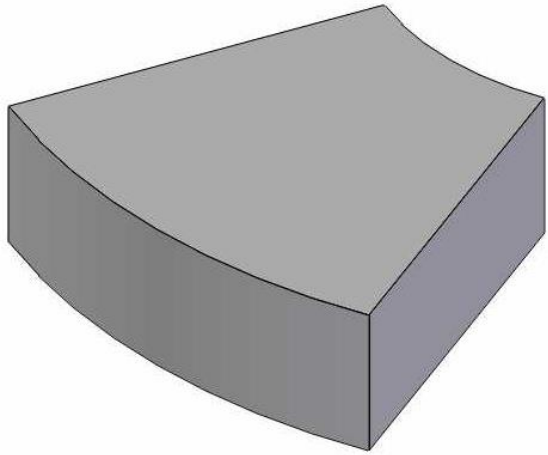
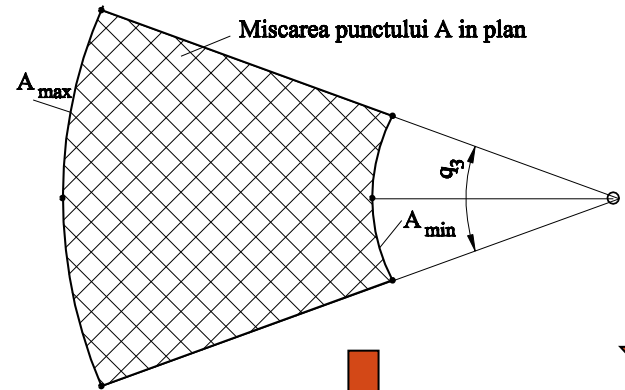
$$X_{E_i} = 0.679 \text{ m}, X_{E_f} = 0.750 \text{ m}, Y_{E_i} = 0 \text{ m}, Y_{E_f} = 0.020 \text{ m}, Z_{E_i} = 0.281 \text{ m}, Z_{E_f} = 0.250 \text{ m}$$

Traietorii de miscare

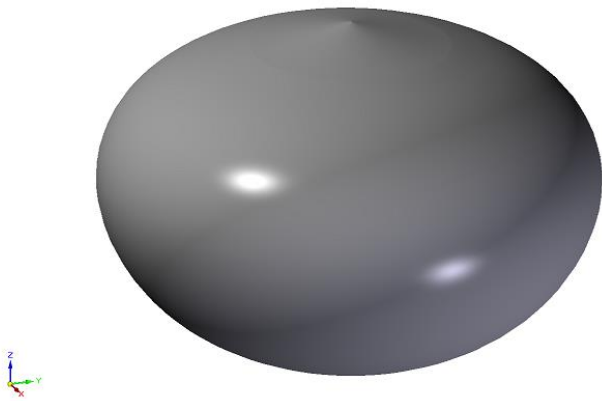


Traietorie circulară cu parametrii de mișcare $R=0.03$ m, $v=0.01$ m/s $a = 0.005$ m/s^2

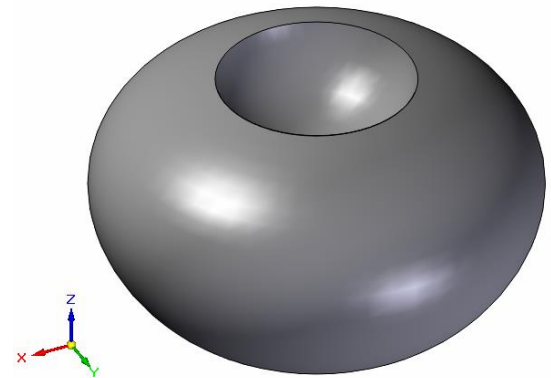
Determinarea geometrica a spatiului de lucru



Determinarea geometrica a spatiului de lucru

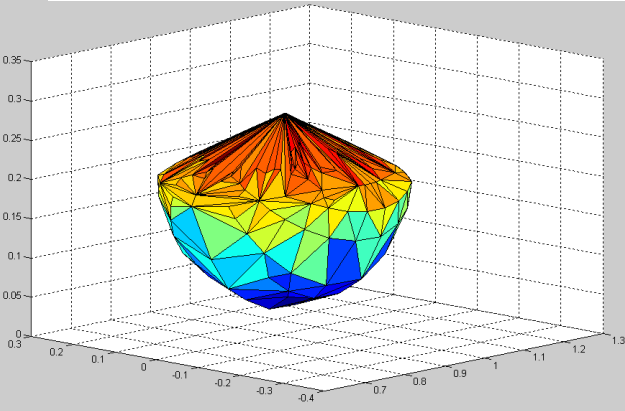
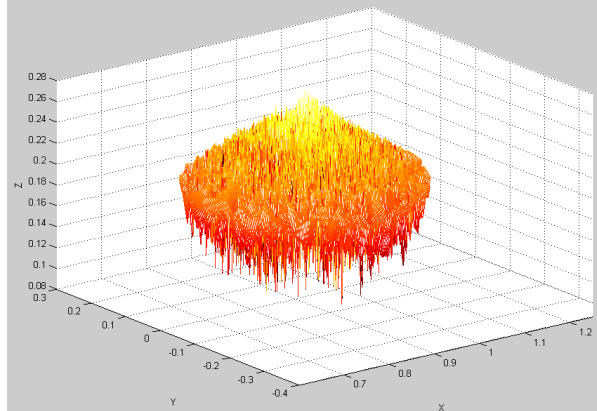
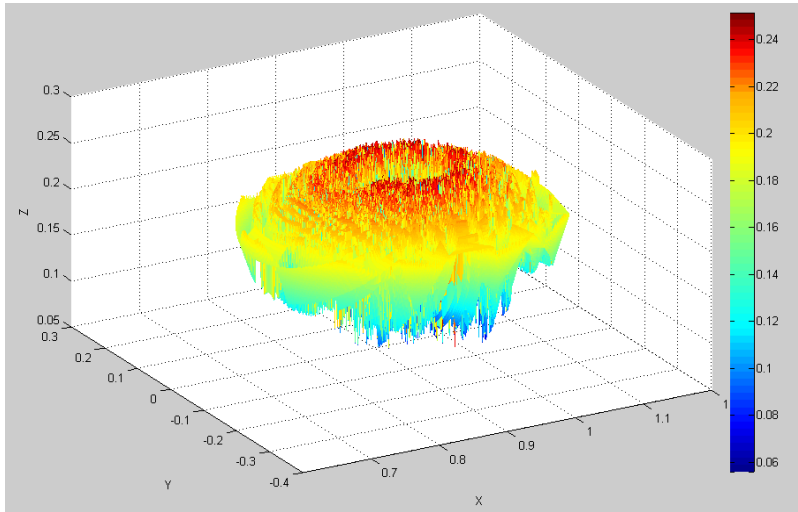
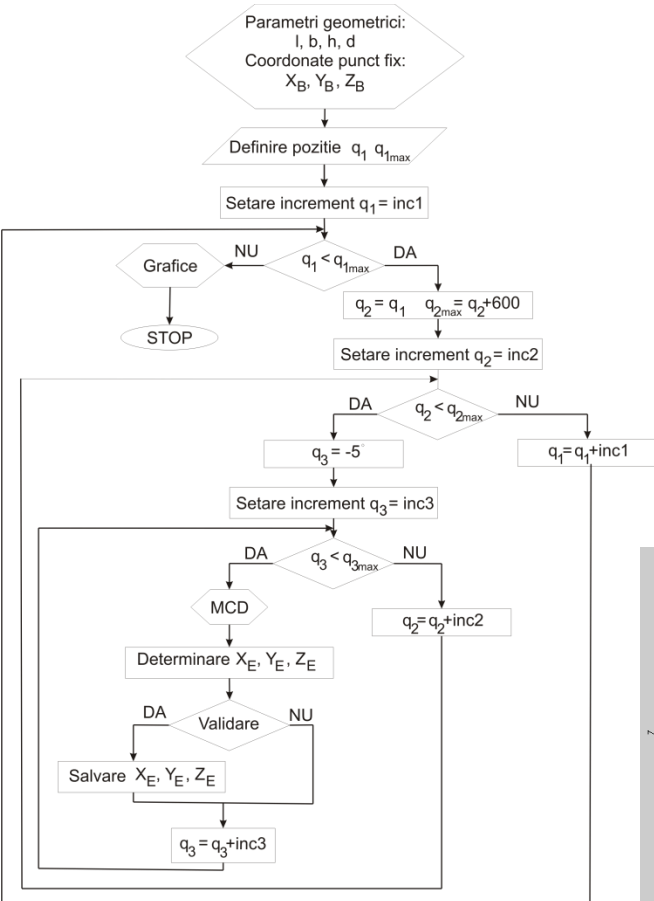


Spațiul de lucru efectiv al punctului E

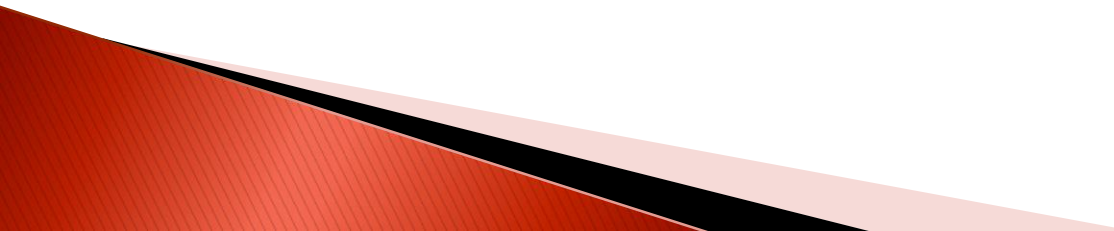


Spațiul de lucru cu vizibilitate al punctului E

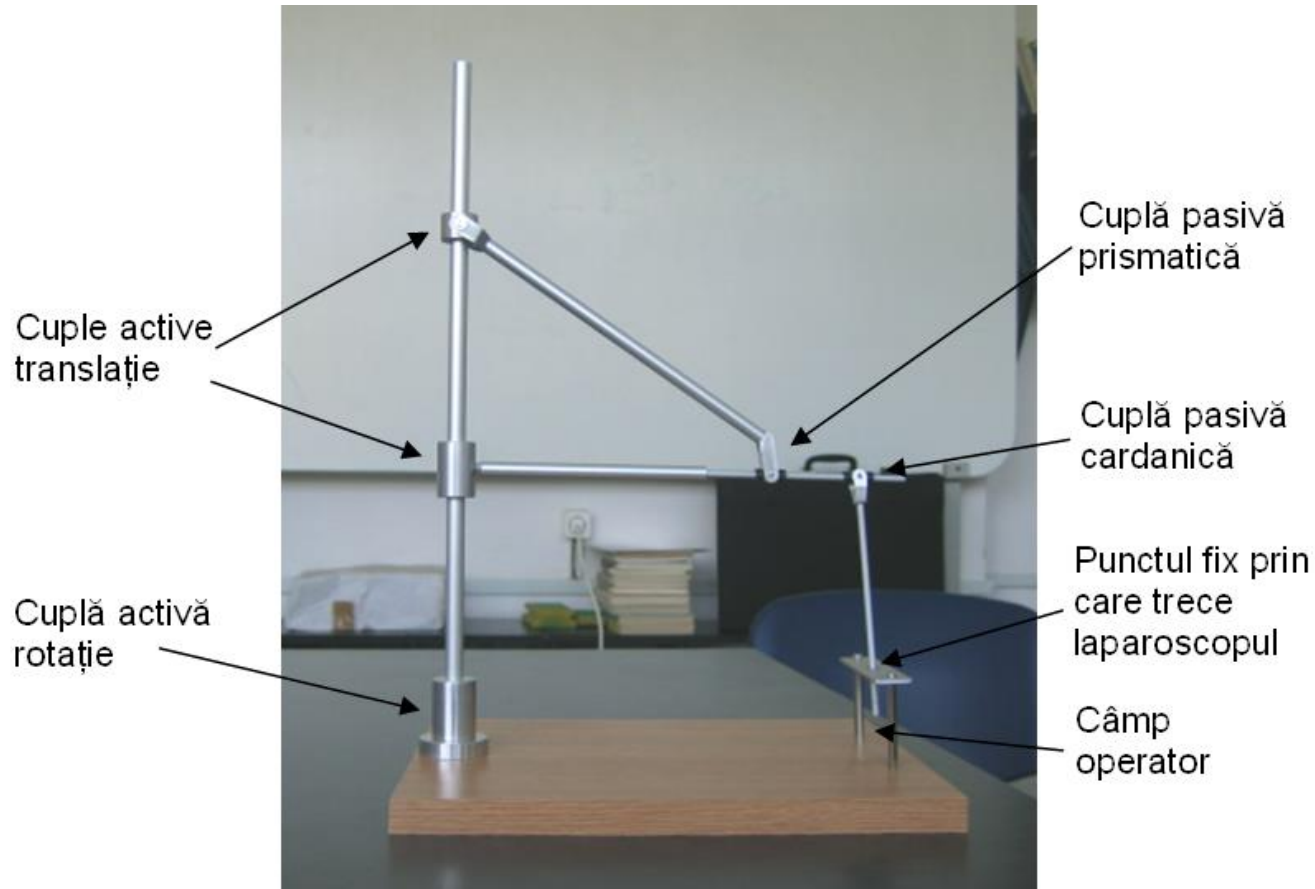
Determinarea analitica a spatiului de lucru



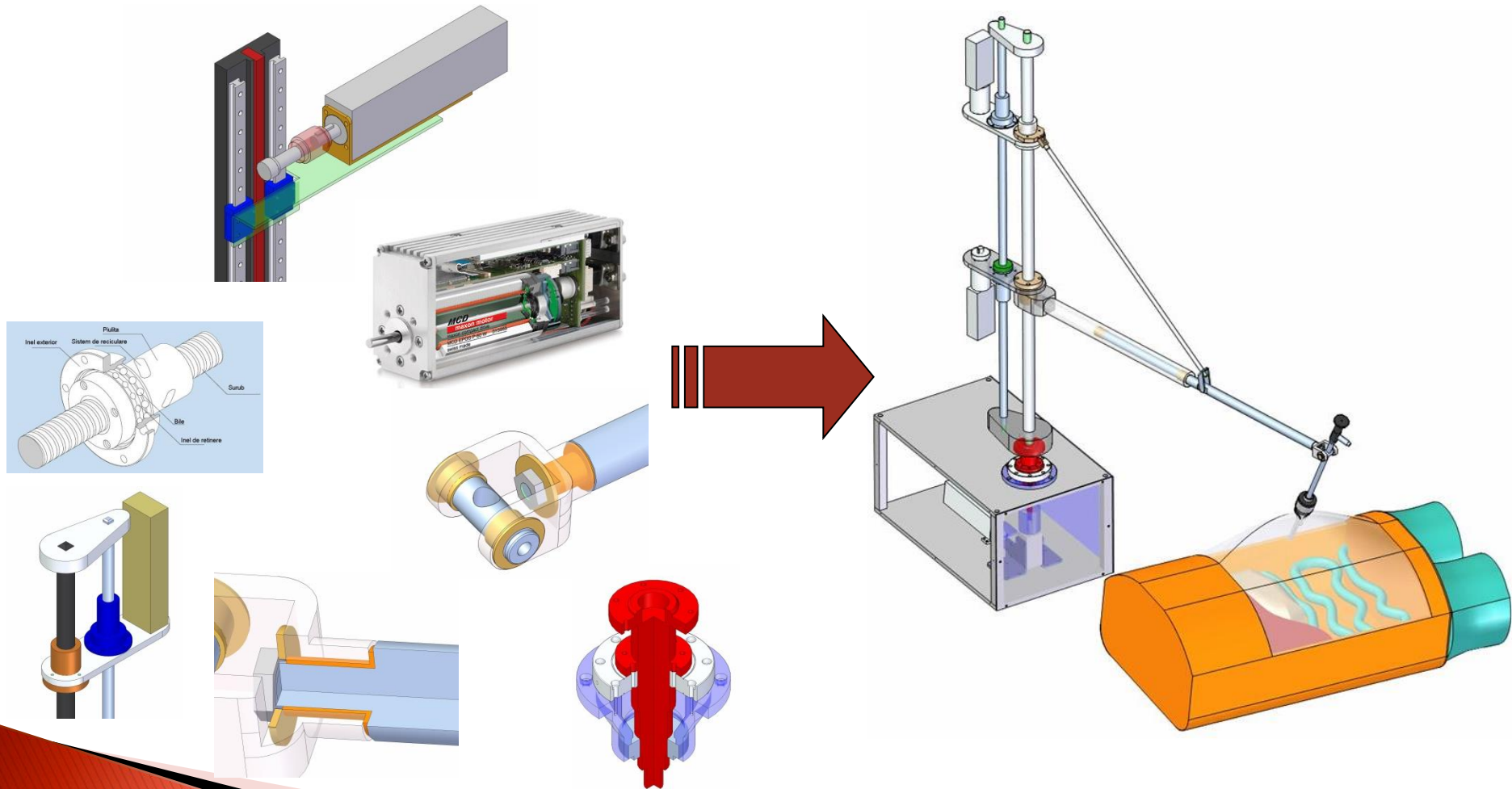
**Proiectarea constructiva a robotului
paralel PARAMIS si realizarea unui
model de comanda utilizand pachetul
software MATLAB - SIMULINK**



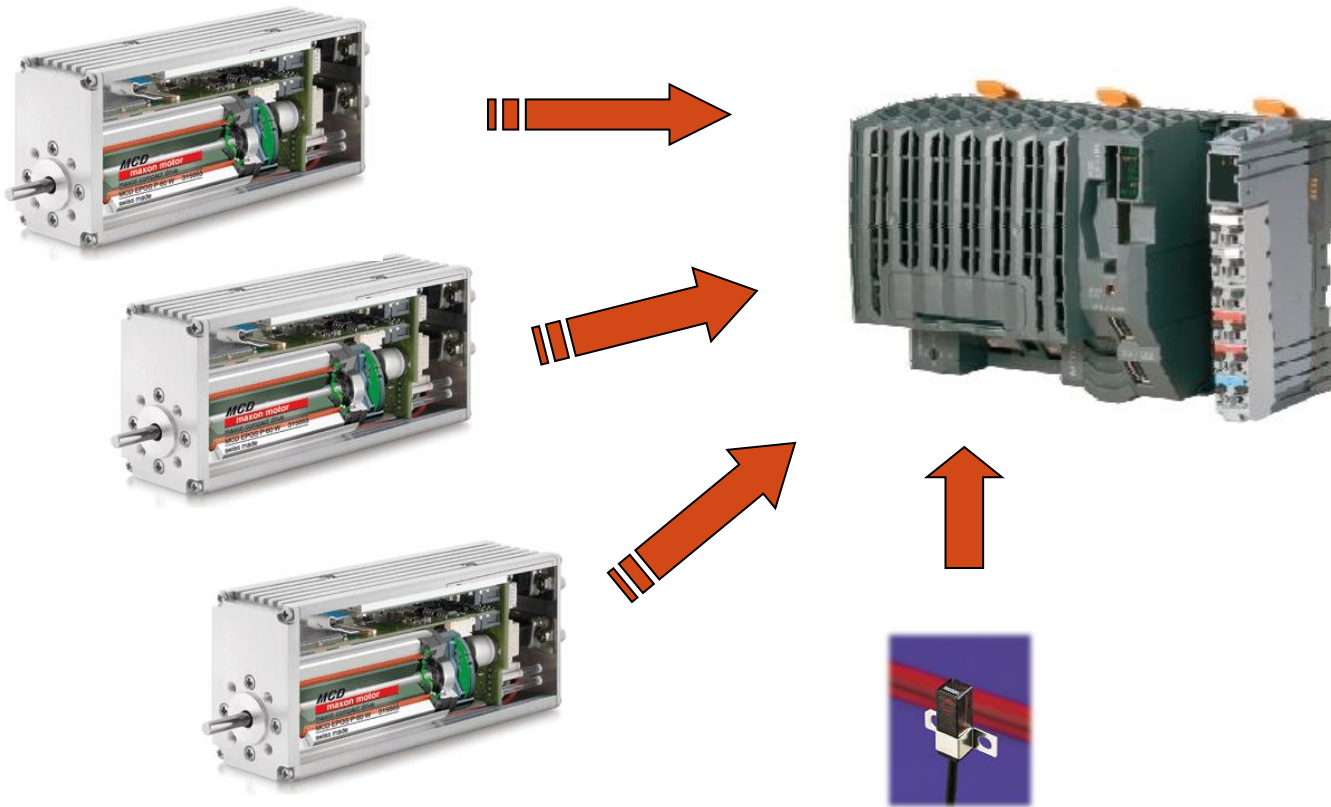
Macheta functională



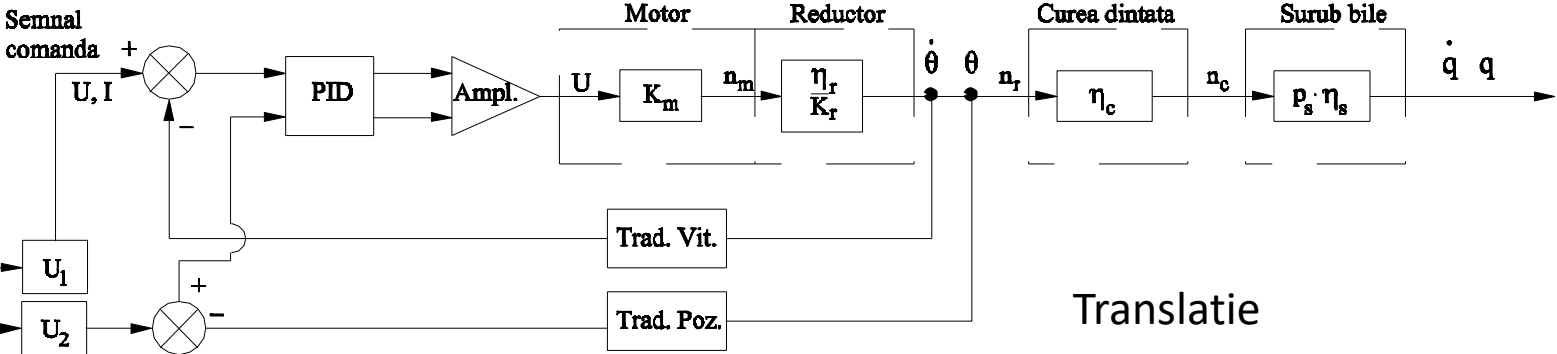
Realizarea modelului experimental



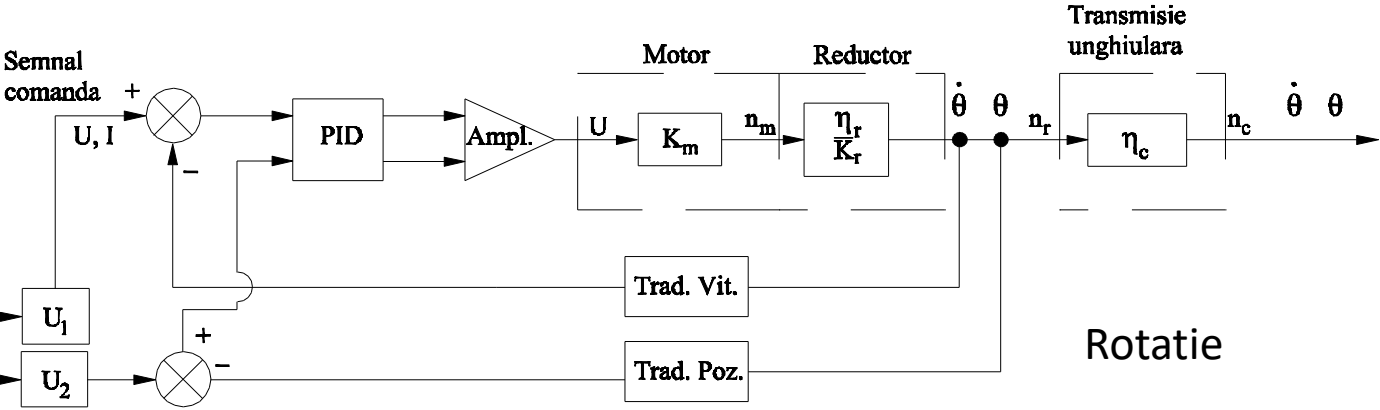
Sistemul de actionare



Schemele de actionare a motoarelor robotului PARAMIS



Translatie



Rotatie

Configurarea reguletoarelor PID

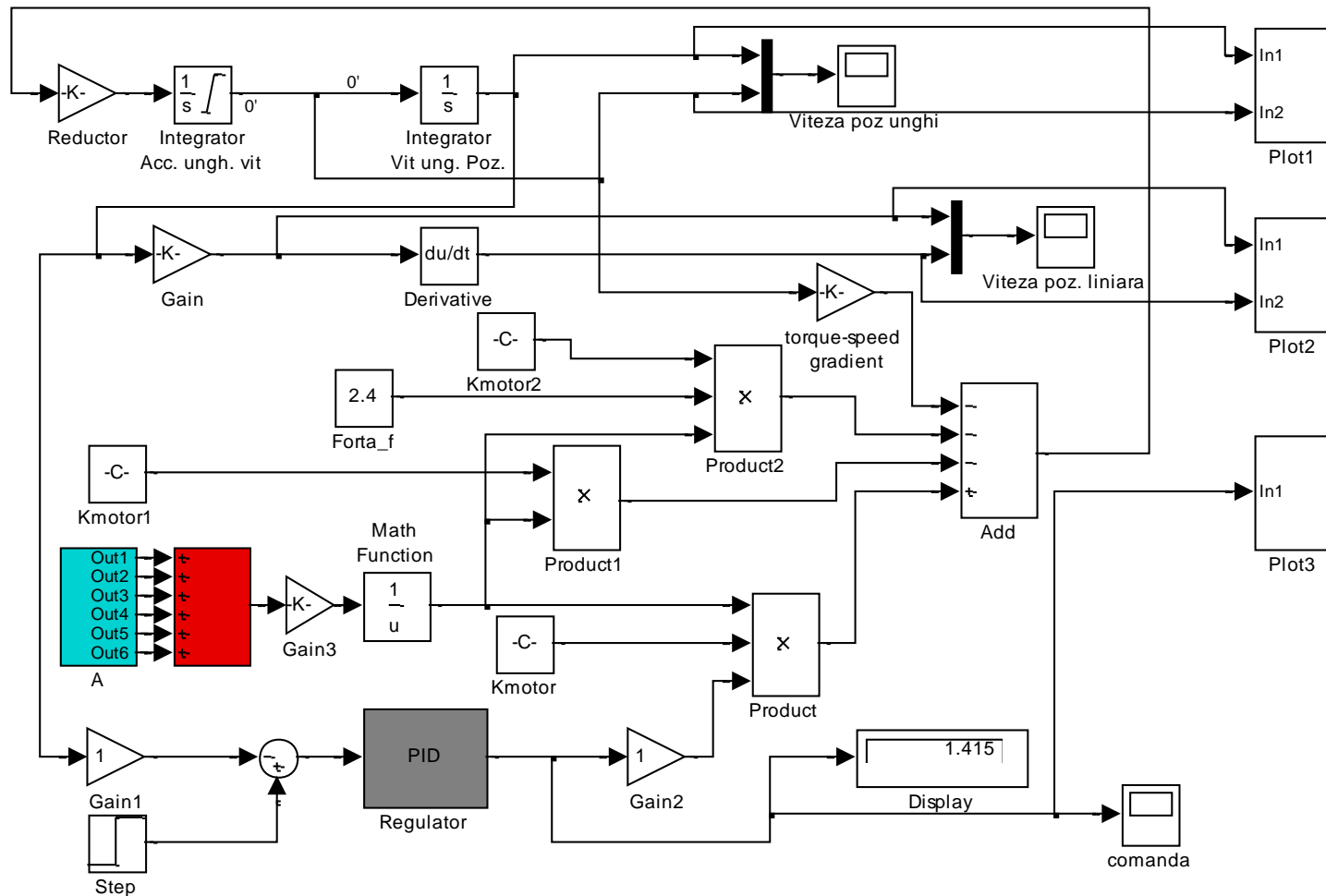
Motorul pentru cupla motoare q_1

$$J_{RED_mot} \cdot \ddot{\theta} + \left[J_{roti} + J_{curea} + \left(\frac{m \cdot P}{2\pi} \right)^2 \cdot 10^{-6} + J_{Piulita_surub} \right] \cdot \ddot{\theta} + M_{1_surub} + F_{f_col} \cdot \frac{\dot{x}}{\dot{\theta}} = K_{motor} \cdot I$$

$$A = J_{RED_mot} + J_{roti} + J_{curea} + \left(\frac{m \cdot P}{2\pi} \right)^2 \cdot 10^{-6} + J_{Piulita_surub}$$

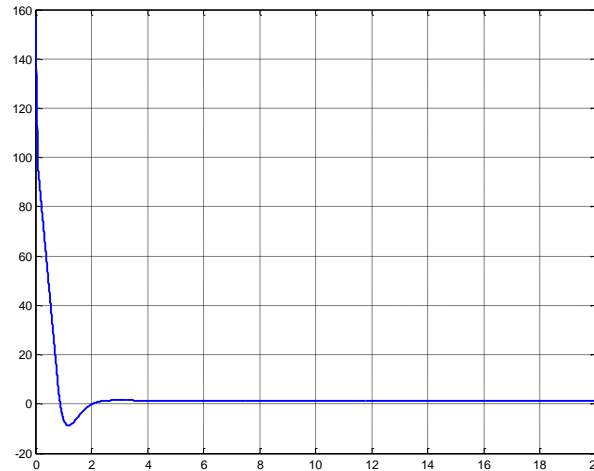
$$\ddot{\theta} = \frac{K_{motor} \cdot I}{A} - \frac{M_1}{A} - \frac{\dot{x}}{\dot{\theta}} \cdot \frac{1}{A}$$

Blocul de comanda al motorului q_1

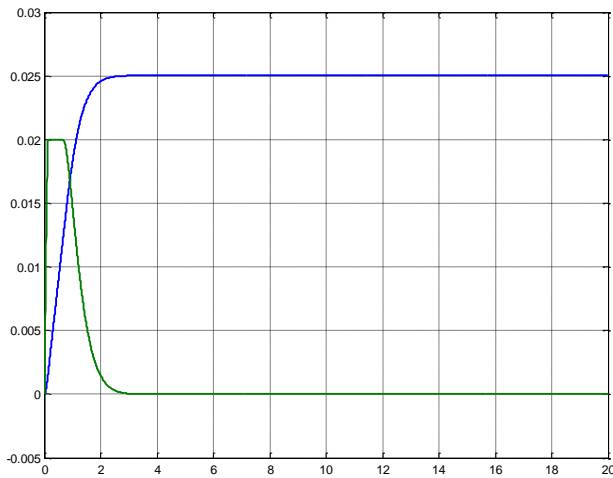


Configurare PID motor q_1

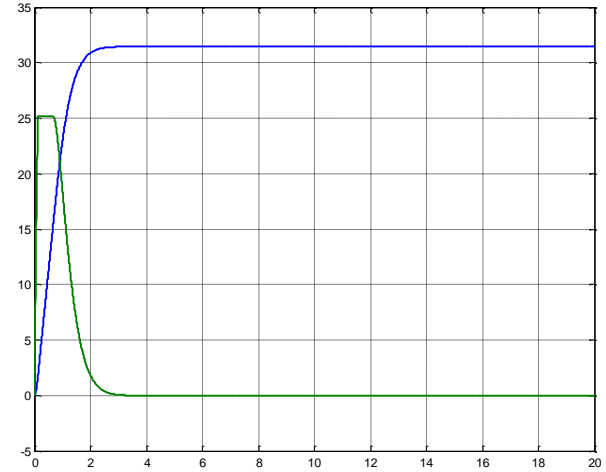
Semnal comanda



Deplasare liniara

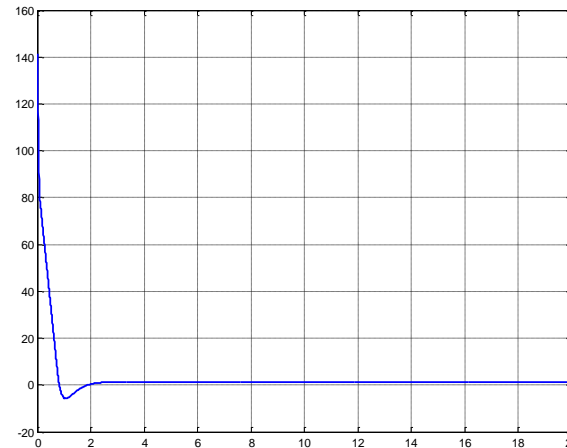


Variatie unghiulara



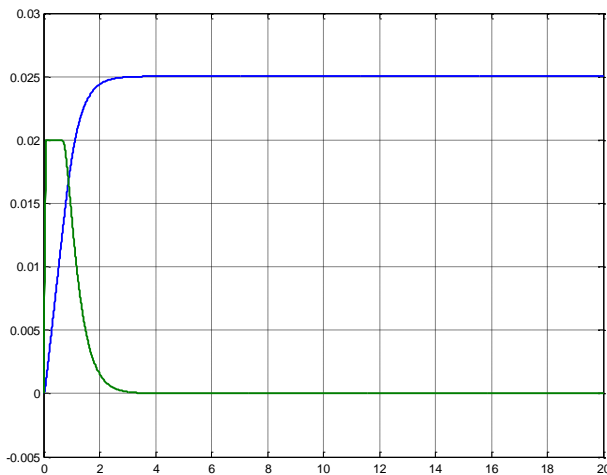
P- 4, I-0.065, D-2.2

Configurare PID motor q_2



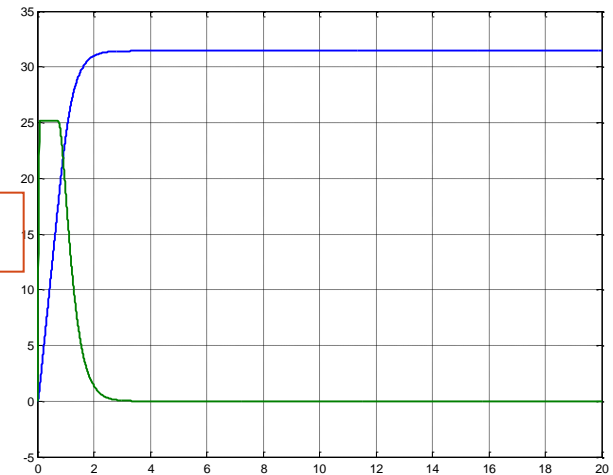
Semnal comanda

Deplasare liniara



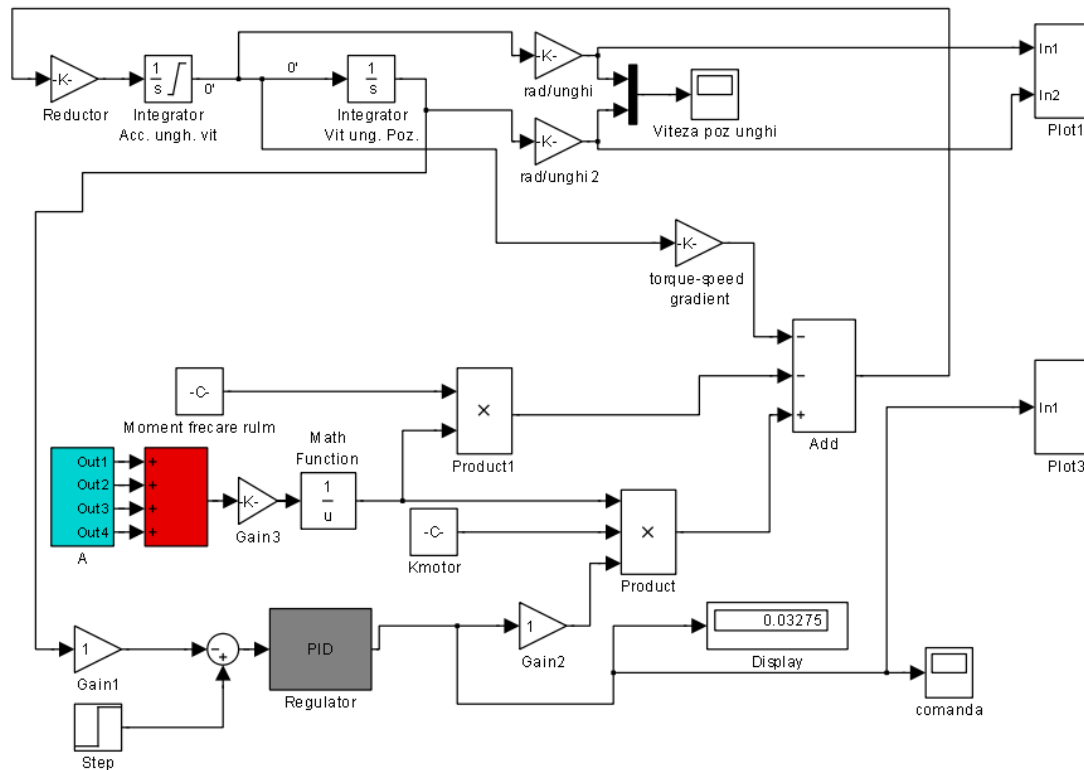
P- 4.5, I-0.065, D-2.2

Variatie unghiulara

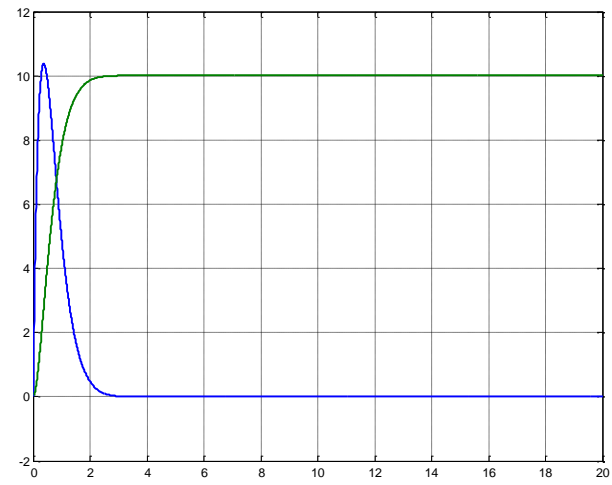
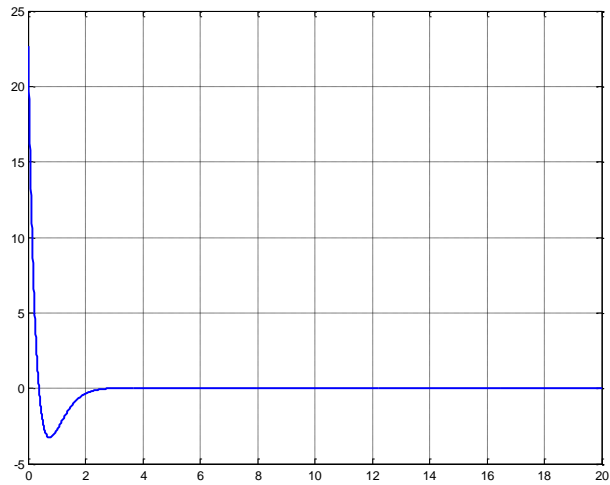


Blocul si ecuatiia de comanda ale motorului q₃

$$\ddot{\theta} = \frac{K_{motor}}{A} \cdot I - \frac{M_{fr}}{A}$$



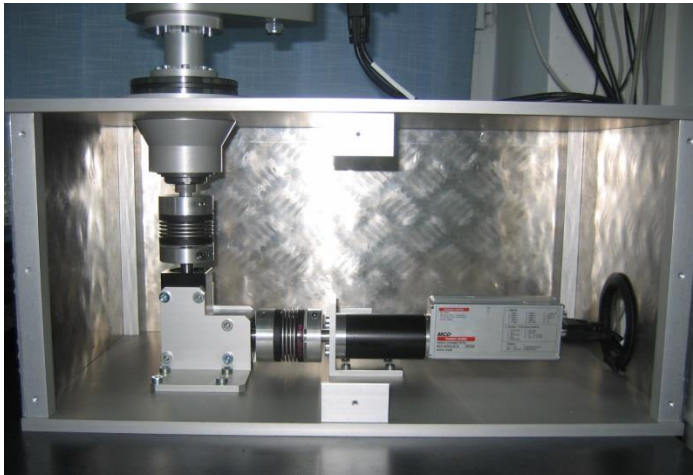
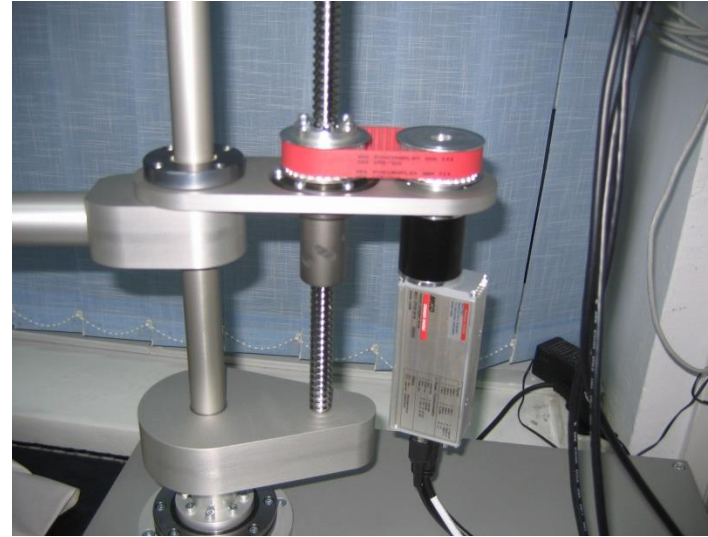
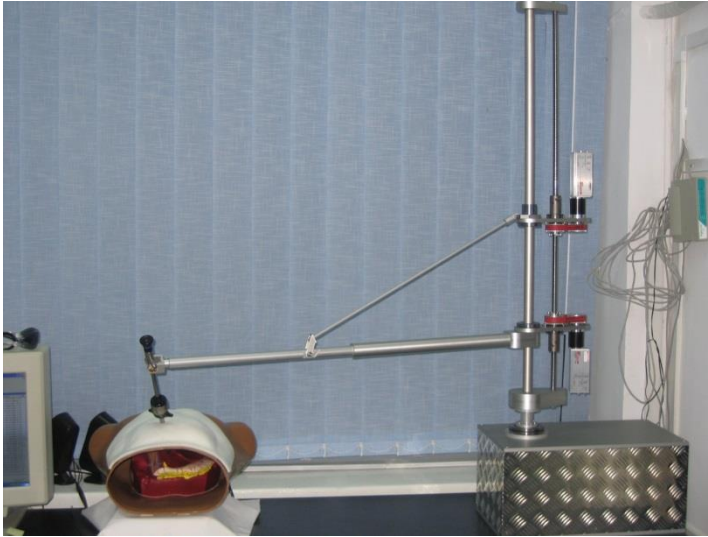
Configurare PID motor q_3



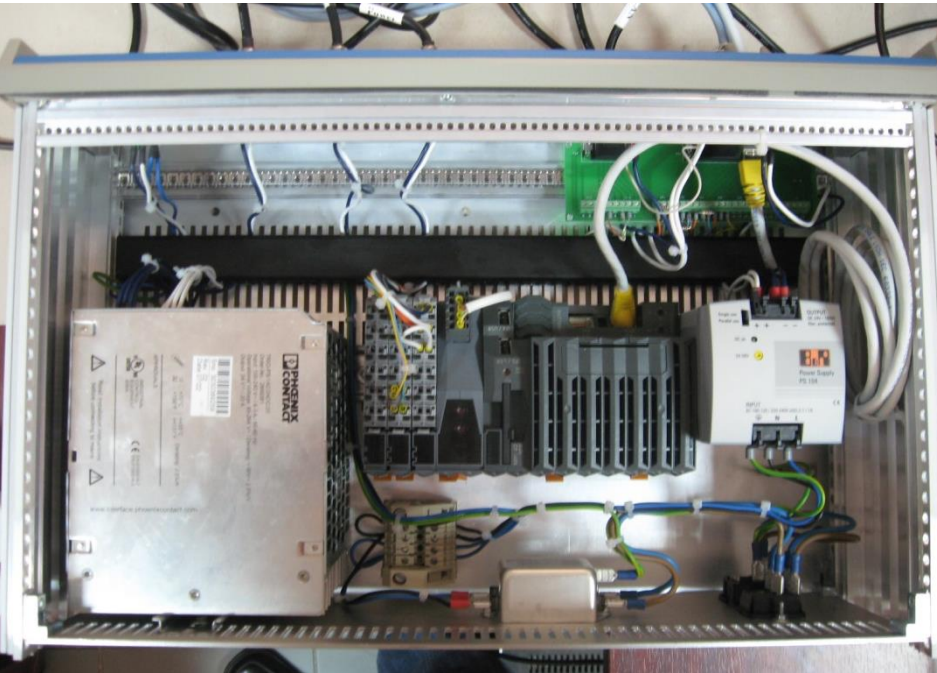
P- 130, I-0.4, D-90

Modelul experimental al robotului PARAMIS

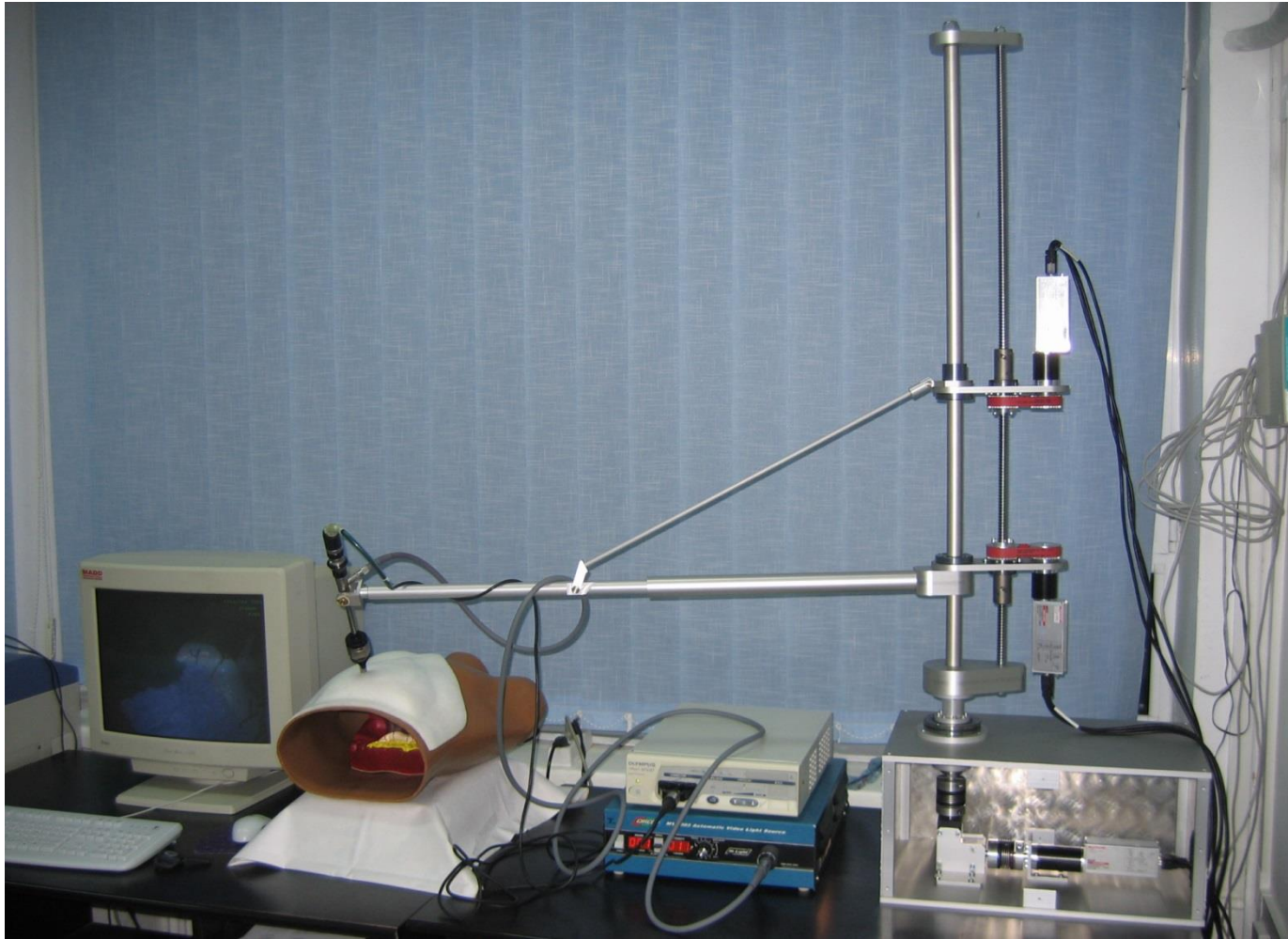
Structura mecanica a robotului PARAMIS



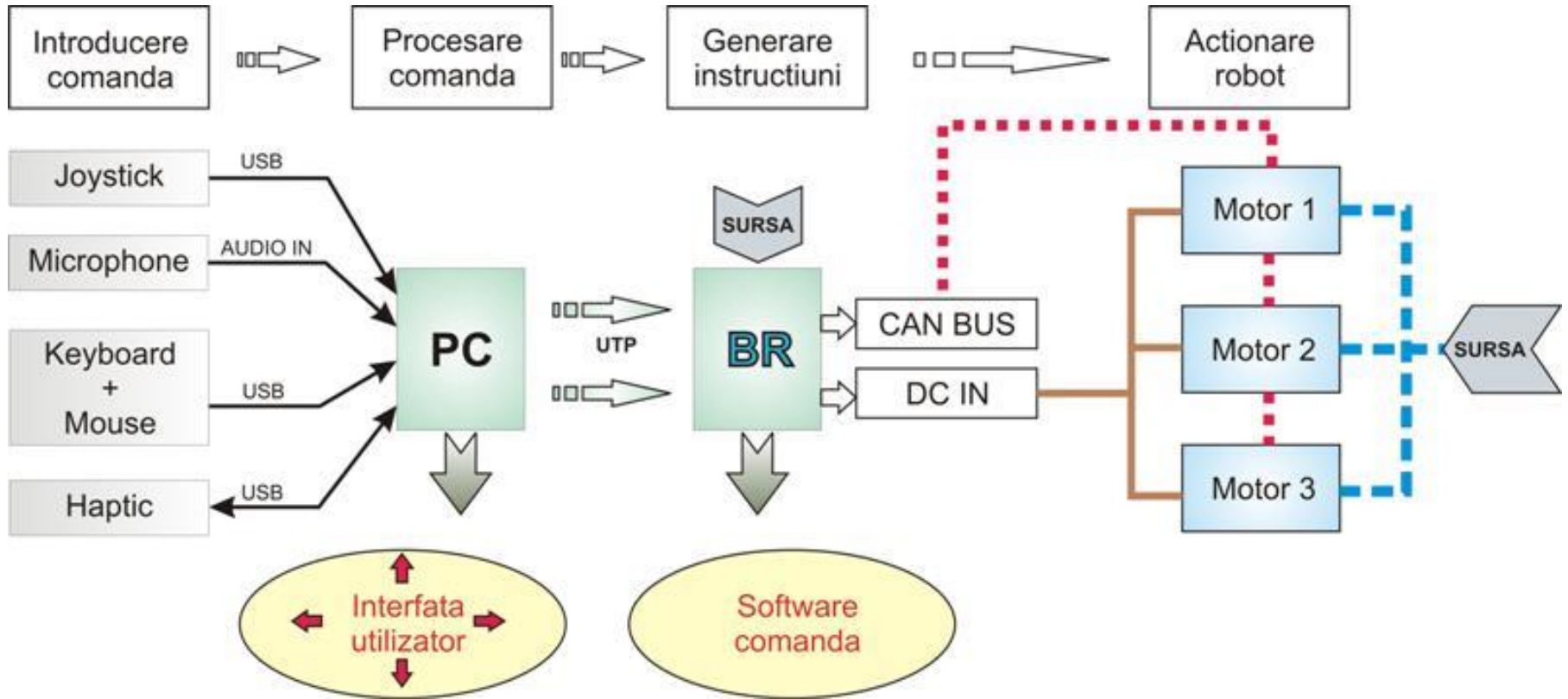
Panoul electric si de comanda al robotului PARAMIS



Modelul experimental al robotului PARAMIS



Schema de actionare a robotului PARAMIS



Comenzile definite ale robotului PARAMIS

The image shows the PARAMIS Control Interface with several callouts and annotations:

- Comenzi de pozitionare** (Positioning commands): Includes buttons for **NEST**, **ORIGIN**, **STOP**, **Quit**, **Move Up**, **Up**, **Move In**, **In**, **Out**, **Move Out**, **Move Left**, **Left**, **Right**, **Move Right**, **Down**, and **Move Down**.
- Comenzi de setare a parametrilor de lucru** (Work parameter setting commands): Includes sliders for **Increment** (0 to 10 mm), **Speed** (0 to 20 mm/s), and **Acceleration** (0 to 10 mm/s²), along with buttons for **Override Limits!** and **Clear Override!**.
- Comenzi de memorare** (Memory commands): Includes **Save 1-3**, **Return 1-3**, and **Clear 1-3** buttons.
- Comenzi de initializare** (Initialization commands): Includes **NEST** and **ORIGIN** buttons.
- Comenzi selectie mod comanda** (Command mode selection commands): Includes **Keyboard Mouse**, **Joystick**, **Voice Commands**, and **Haptic** buttons.
- Other UI elements:** **Motor Actuation** button, **Close program** button, **Coordinates** input fields for X, Y, and Z (with units mm and m), and a **Motion Progress** bar.

Intrebari

